

**IFT608/IFT702**  
**Planification en intelligence artificielle**

**Planification de trajectoires  
avec évitement d'obstacles**

Professeur: Froduald Kabanza

Assistants: Jordan Félicien Masakuna

# Objectifs

- Se familiariser avec les approches générales de modélisation d'un robot et de son environnement pour planifier les trajectoires.
- Connaître les deux grandes familles d'algorithmes pour planifier les trajectoires d'un robot:
  - » Approches exactes qui modélisent la topologie de l'espace de configuration.
  - » Approches (approximatives) qui échantillonne de l'espace de configuration.

# Sujets couverts

- Énoncé du problème
- Cadre de résolution générale
- Représentation et transformation géométriques
- Espace de configuration
- Approches de planification
  - » Exactes
  - » Par échantillonnage
- Contraintes différentielles
- OMPL

**Reference:** Steven Lavalle. *Planning Algorithms*. Cambridge University Press, 2006. Disponible en ligne: <http://planning.cs.uiuc.edu/>. Sections couverts: 3 à 6 et 13 à 14.

# Plan

- Énoncé du problème
- Exemples d'applications
- Cadre de résolution général
- Représentation et transformation des entités
- Espace de configuration
- Approches de planification
  - » Exactes
  - » Par échantillonnage
- Contraintes différentielles
- Outils suggérés

# Énoncé du problème

- *Planification de trajectoire: Calculer une trajectoire géométrique d'un solide (articulé ou non) sans collision avec des obstacles statiques.*

## Entrée:

- Géométrie du robot et des obstacles
- Cinétique du robot (degrés de liberté)
- Configurations initiale et finale

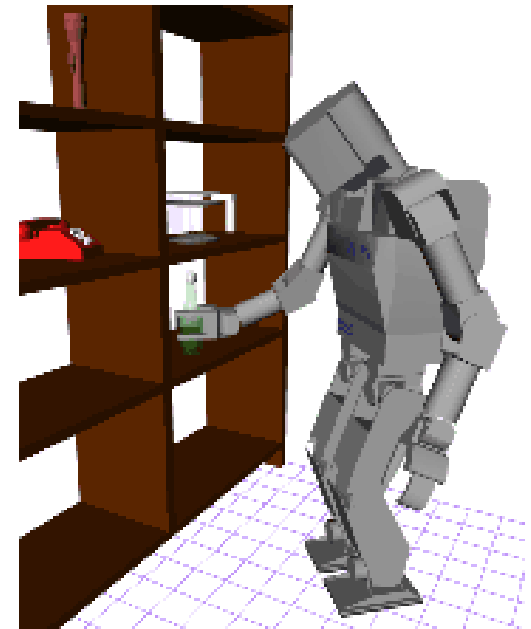
↓

Planificateur de trajectoires

↓

## Sortie:

- Un chemin sans collision joignant la configuration initiale à la configuration finale



S. Kagami. U of Tokyo

# Plan

- Énoncé du problème
- Cadre de résolution général
- Représentation et transformation des entités
- Espace de configuration
- Approches de planification
  - » Exactes
  - » Par échantillonnage
- Contraintes différentielles
- Outils suggérés

# Robots mobiles

ASIMO  
Honda



# Lignes d'assemblage

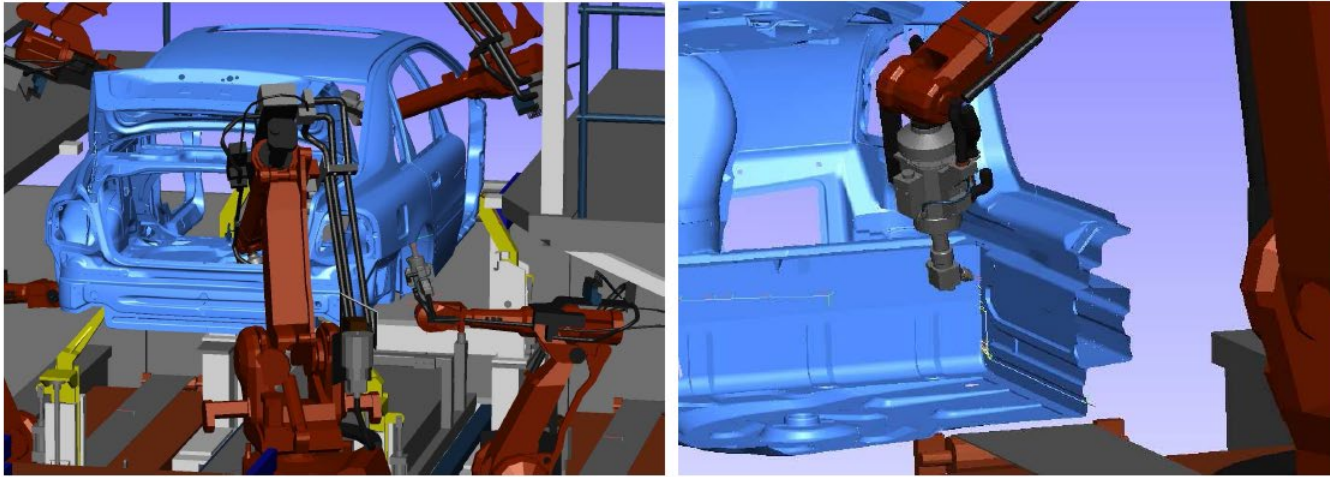
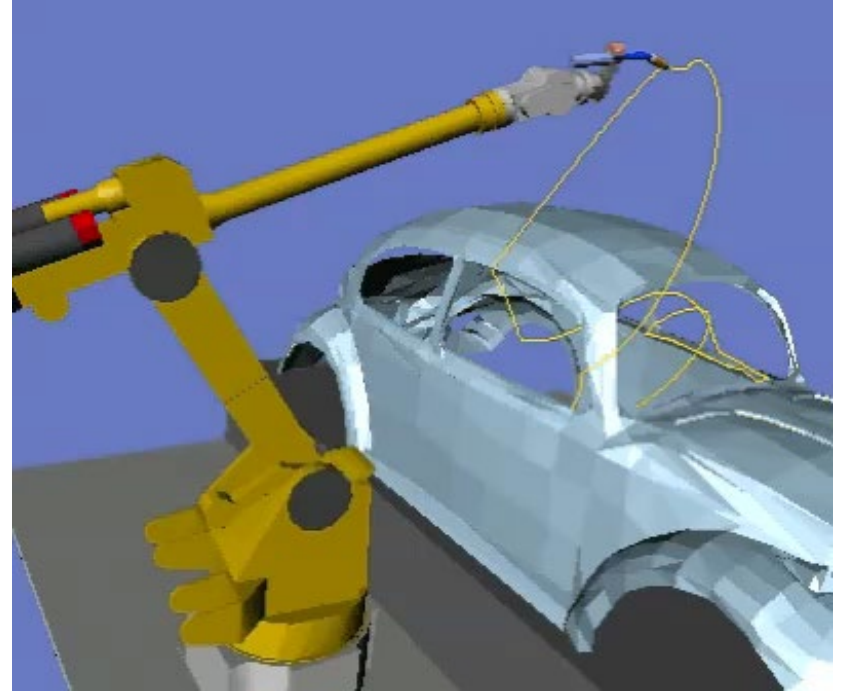
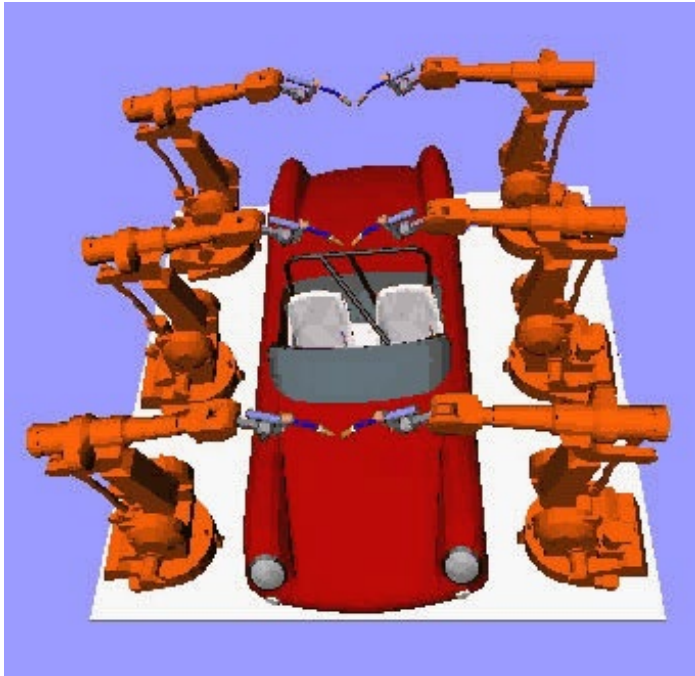


Figure 1.4: An application of motion planning to the sealing process in automotive manufacturing. Planning software developed by the Fraunhofer Chalmers Centre (FCC) is used at the Volvo Cars plant in Sweden (courtesy of Volvo Cars and FCC).

# Ligne d'assemblage



Motion Planning Kit (Jean-Claude Latombe – Stanford U.)

# Animations cinématographiques

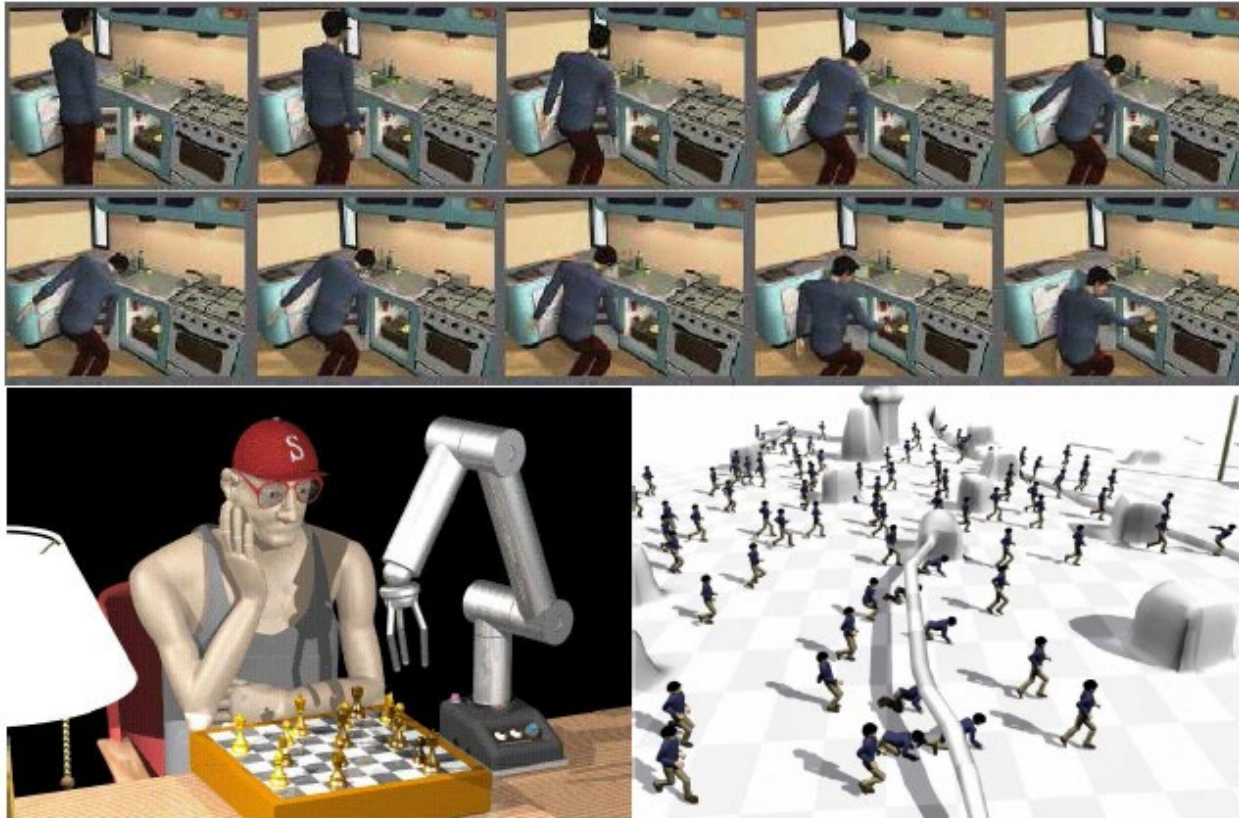
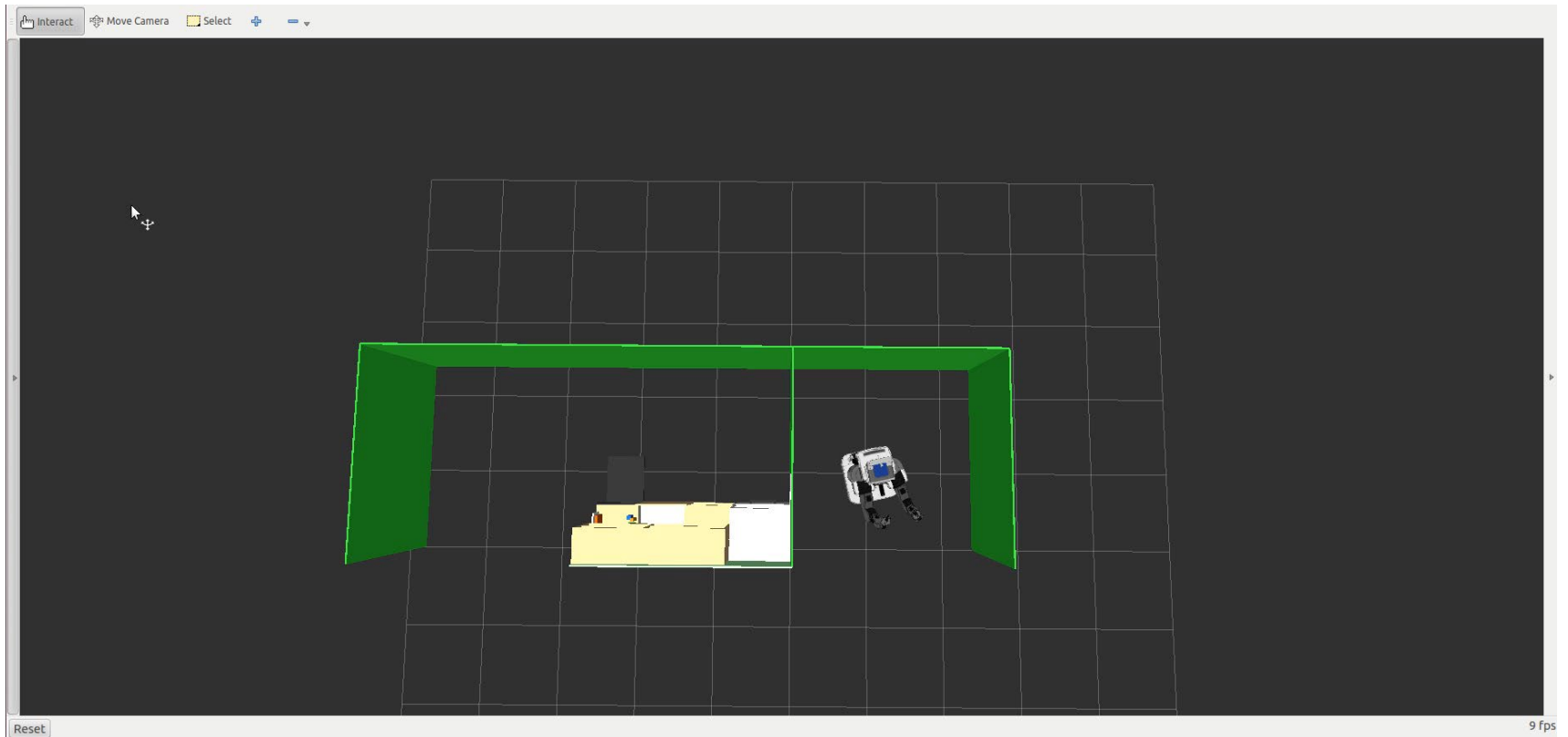
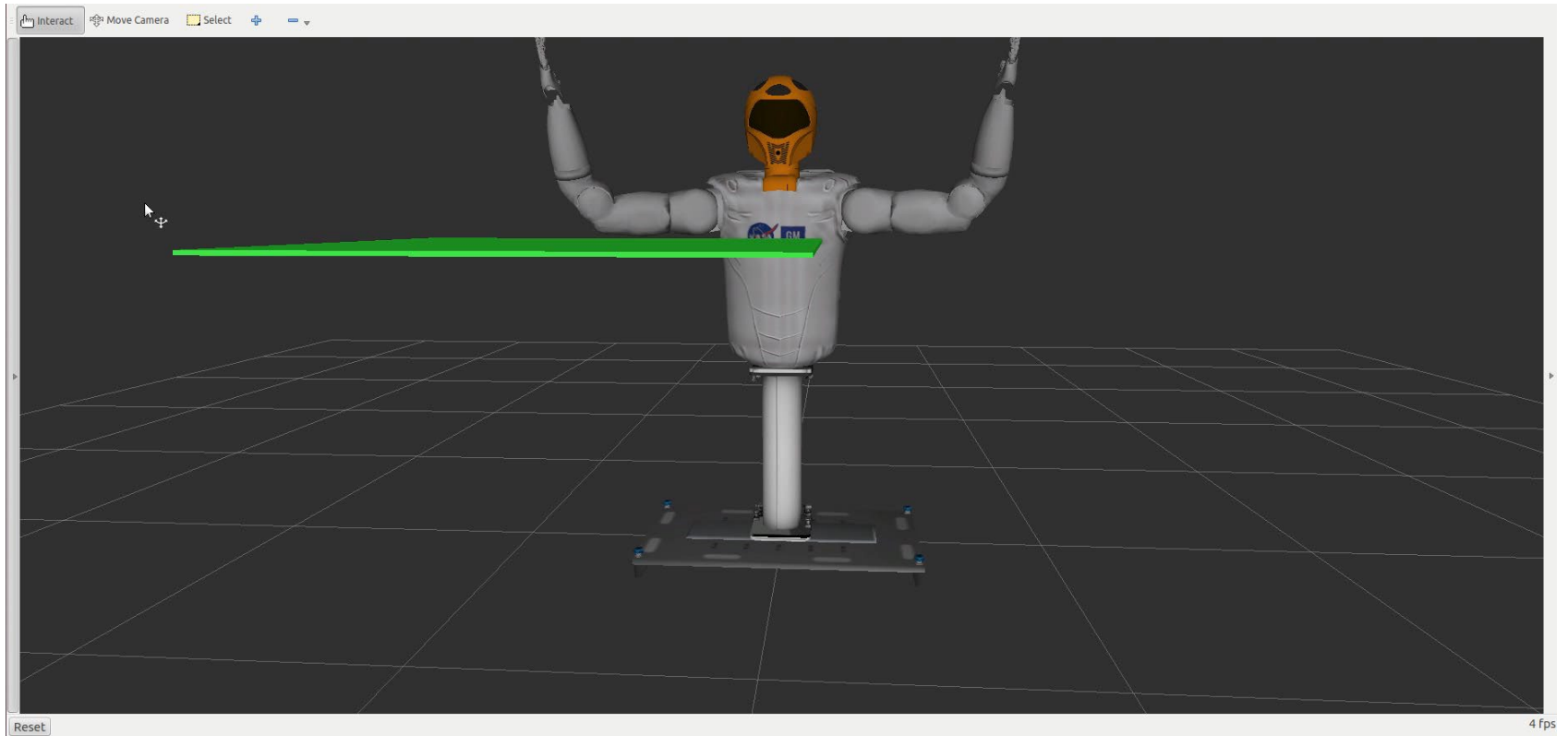


Figure 1.8: Across the top, a motion computed by a planning algorithm, for a digital actor to reach into a refrigerator [499]. In the lower left, a digital actor plays chess with a virtual robot [545]. In the lower right, a planning algorithm computes the motions of 100 digital actors moving across terrain with obstacles [592].

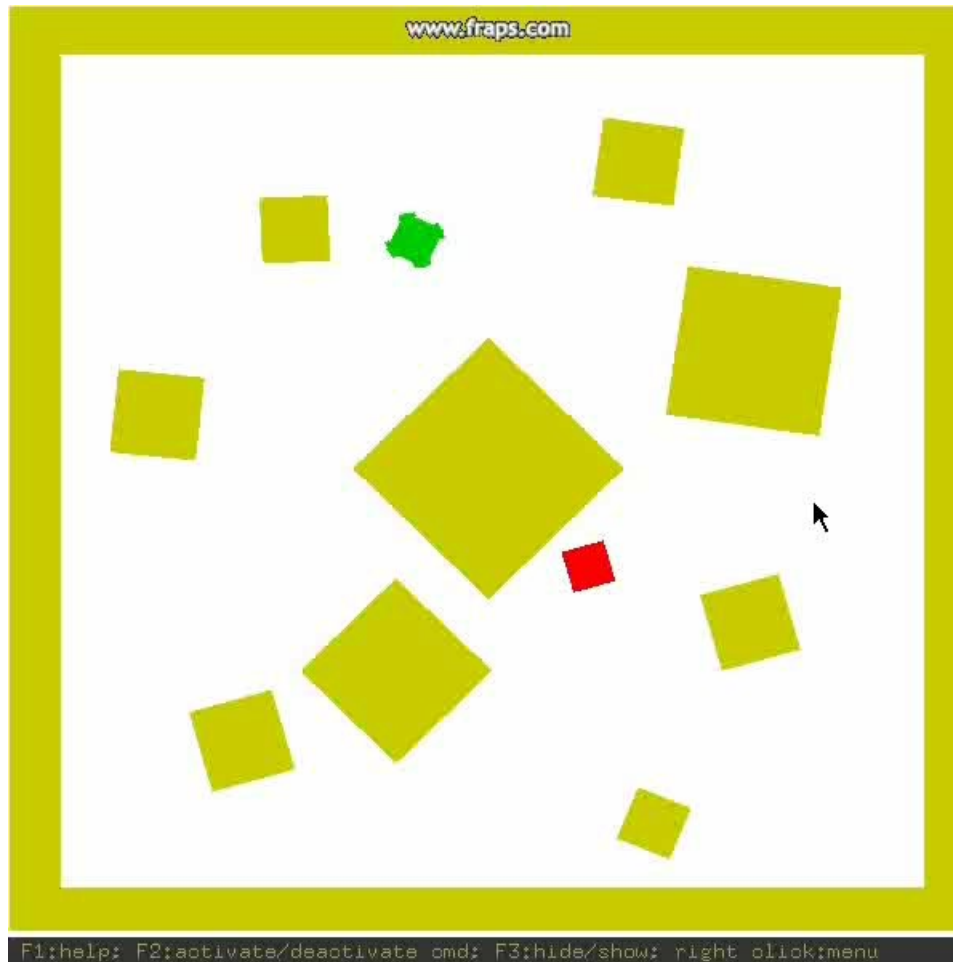
# Projet ROS - IFT 608 / IFT702



# Projet ROS - IFT 608 / IFT702

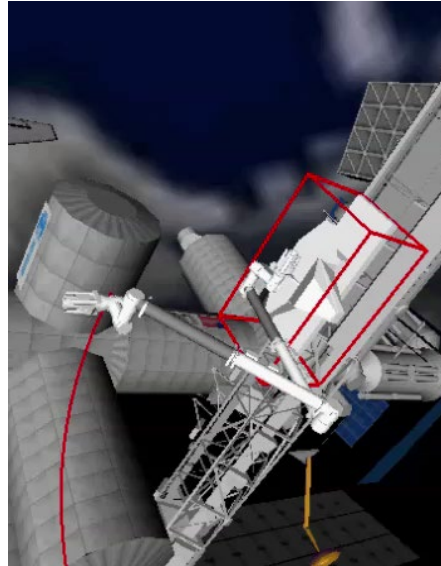


# Projet IFT 608 + Cours-Projet



S. Chamberland &  
D. Castonguay (2010)

# Projet doctorat



Khaled Belghith (2010)

# Plan

- Énoncé du problème
- Cadre de résolution général
- Représentation et transformation des entités
- Espace de configuration
- Approches de planification
  - » Exactes
  - » Par échantillonnage
- Contraintes différentielles
- Outils suggérés

# Énoncé du problème

- *Planification de trajectoire: Calculer une trajectoire géométrique d'un solide (articulé ou non) sans collision avec des obstacles statiques.*

## Entrée:

- Géométrie du robot et des obstacles
- Cinétique du robot (degrés de liberté)
- Configurations initiale et finale

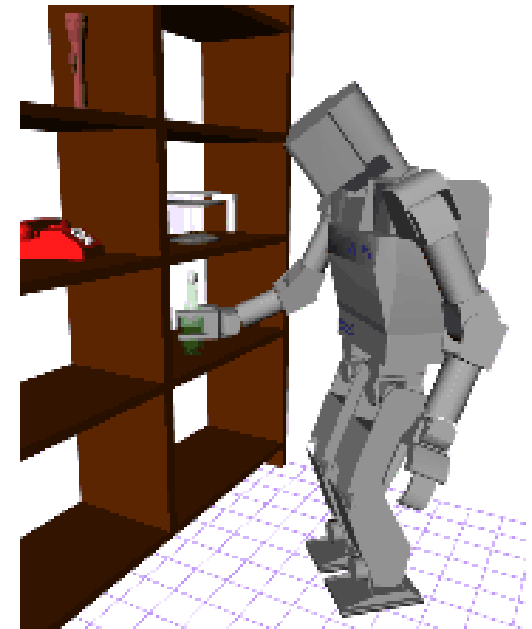
↓

Planificateur de trajectoires

↓

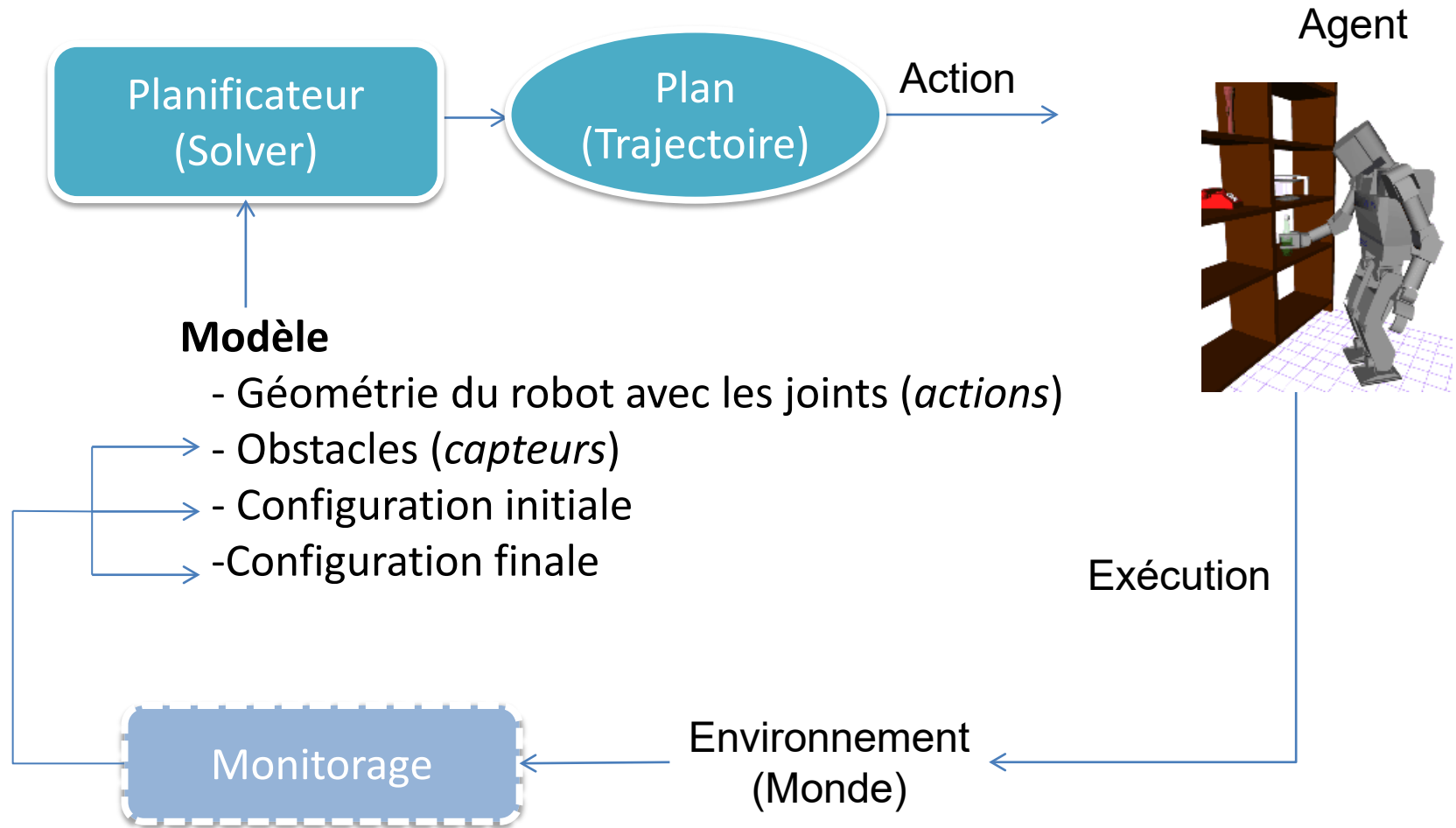
## Sortie:

- Un chemin sans collision joignant la configuration initiale à la configuration finale

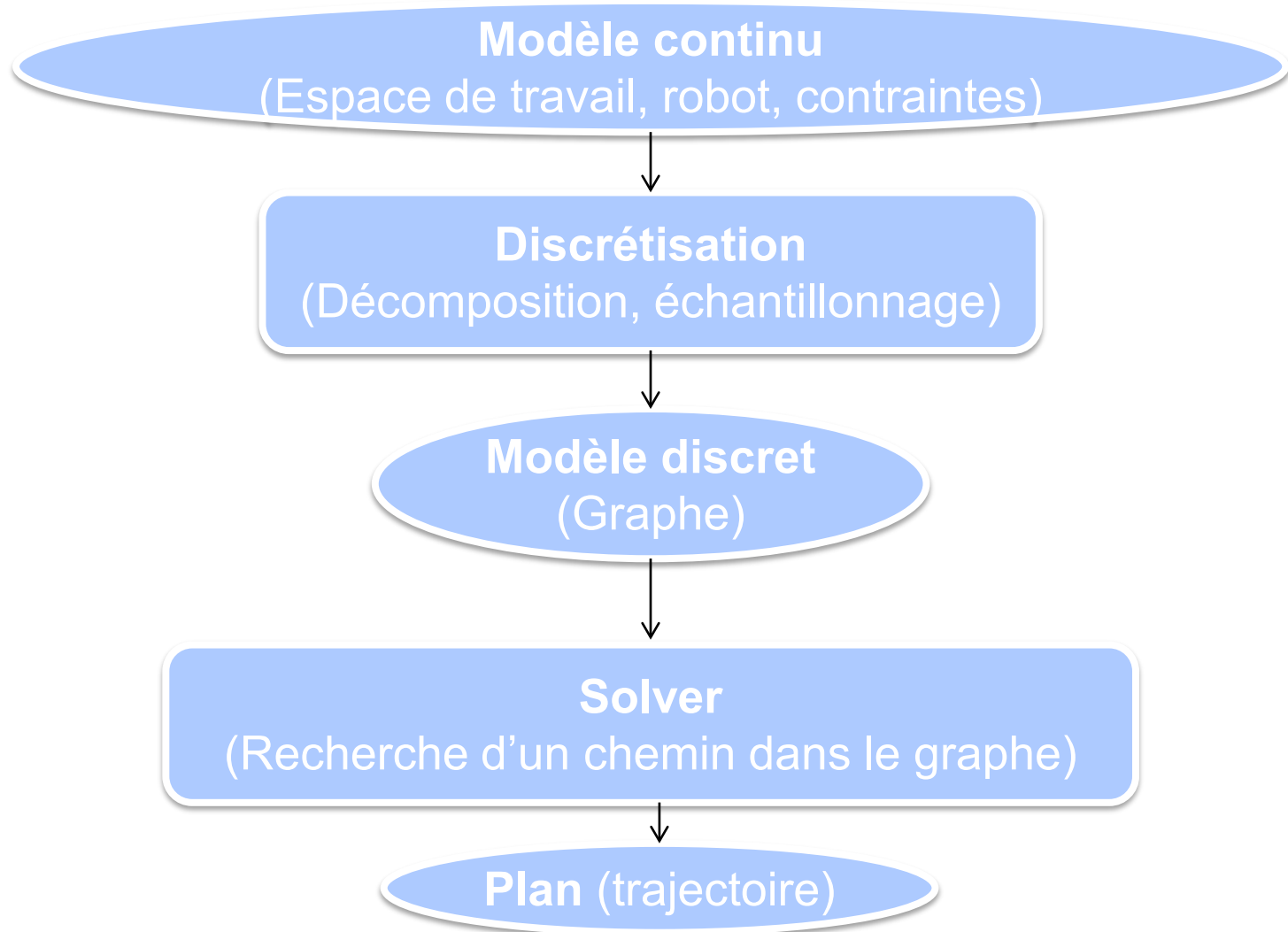


S. Kagami. U of Tokyo

# Boucle de contrôle : planification, exécution, monitoring



# Planificateur



# Planification de trajectoire (*path*) vs Planification des déplacements (*motion*)

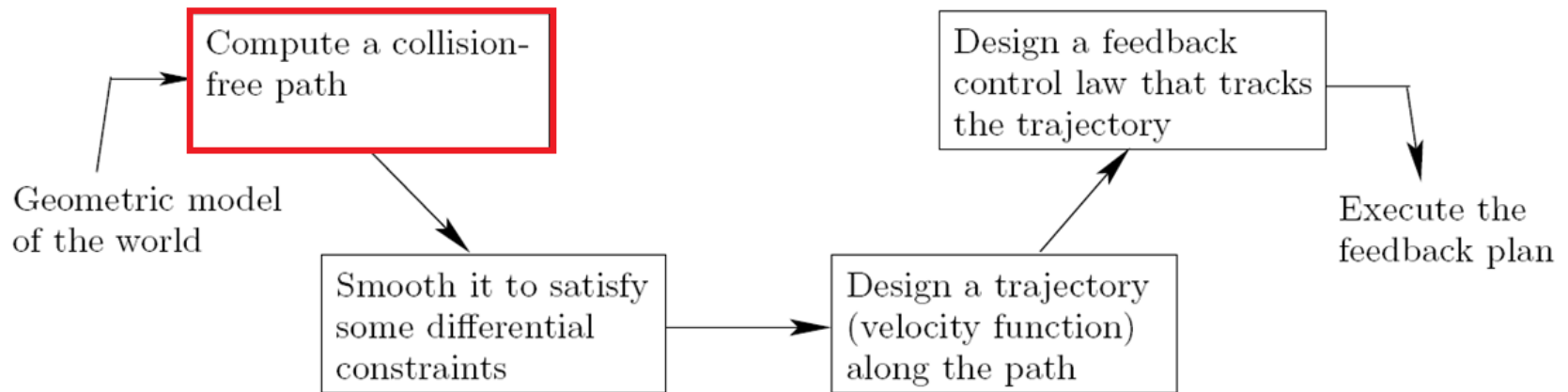


Figure 1.19: A refinement approach that has been used for decades in robotics.

# Plan

- Énoncé du problème
- Cadre de résolution général
- Représentation et transformation des entités
- Espace de configuration
- Approches de planification
  - » Exactes
  - » Par échantillonnage
- Contraintes différentielles
- Outils suggérés

# Nécessité des représentations géométriques

Les représentations géométriques sont nécessaires pour

- » Modéliser le robot
- » Modéliser les obstacles
- » Détecter les collisions entre le robot et les obstacles

Pour ce cours

- » Besoin juste des concepts et notions de base (infographie)
- » Le projet utilisera la librairie OMPL. Elle utilise des outils de détection de collision : MoveIt!, FCL ou PQP

# Notation

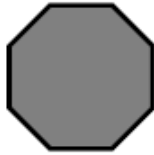
- $W = \mathbb{R}^2$  ou  $\mathbb{R}^3$ : espace de travail (*working space*) ou monde (*world*).
- $O \subseteq W$ : obstacles (fixes)
- $A \subseteq W = A_1 \times \dots \times A_n$ : robots (mobiles)

# Représentation géométrique

- Polygones / polyèdres
- Semi-algébriques
- Triangles
- Carte de coûts discrétisée
  - » Cas particulier: carte binaire (*bitmap*)

# Polygones convexes

Un objet 2D qui est un polygone convexe peut être représenté par une intersection de plans.



Convexe: un sous-ensemble  $X$ , si pour tout  $x_1, x_2$  dans  $X$  et  $\lambda$  dans  $[0,1]$ :  $\lambda x_1 + (1 - \lambda)x_2 \in X$ .

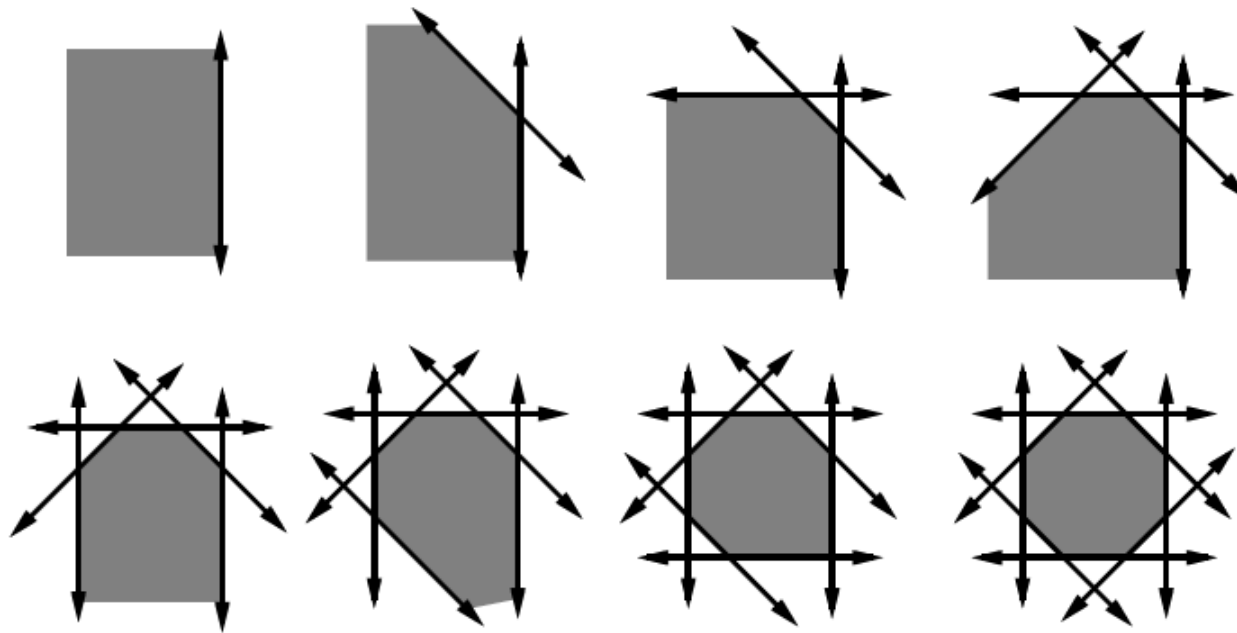


Figure 3.1: A convex polygonal region can be identified by the intersection of half-planes.

# Polygones non convexes

- Un objet 2D non convexe, peut être représenté par une union d'objets convexes.

# Polyèdres

- Pour des environnements 3D, les concepts précédents sont généralisés en remplaçant les polygones par des polyèdres et les demi-plans par des demi-espaces.

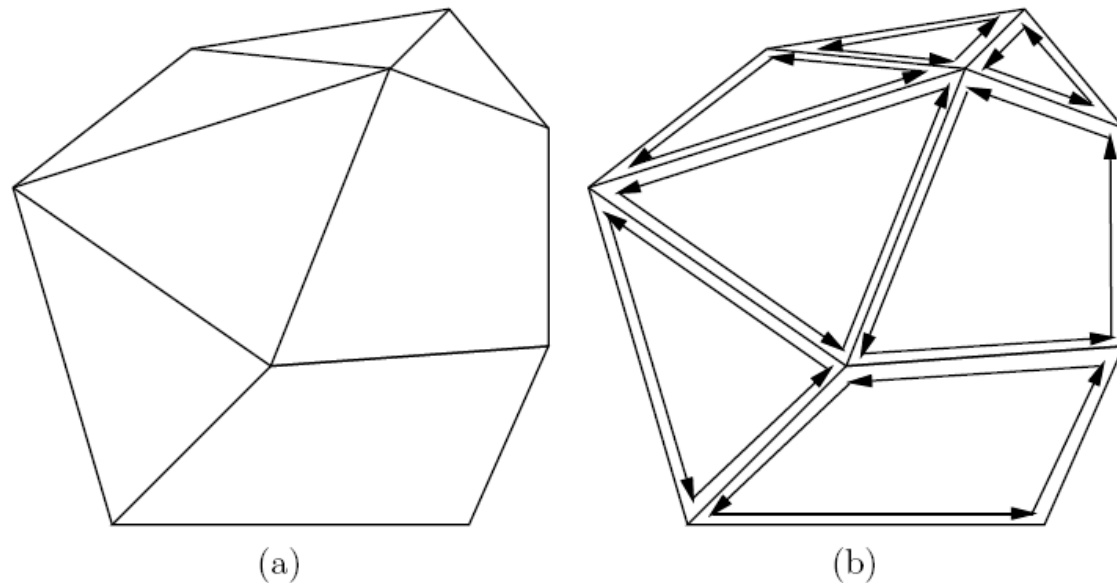


Figure 3.3: (a) A polyhedron can be described in terms of faces, edges, and vertices. (b) The edges of each face can be stored in a circular list that is traversed in counterclockwise order with respect to the outward normal vector of the face.

# Triangles

- Un autre modèle très populaire pour les représentations 3D est d'utiliser un ensemble de triangles, chaque triangle étant représenté par trois points (ses sommets).



Figure 3.6: Triangle strips and triangle fans can reduce the number of redundant points.

# Transformations géométriques

- Transformations entre cadres de référence
  - » Au moins un fixé sur le robot ( $A$ )
  - » Au moins un fixé sur l'espace de travail ( $W$ ).
- Types de transformations
  - » Translations
  - » Rotations

# Translations

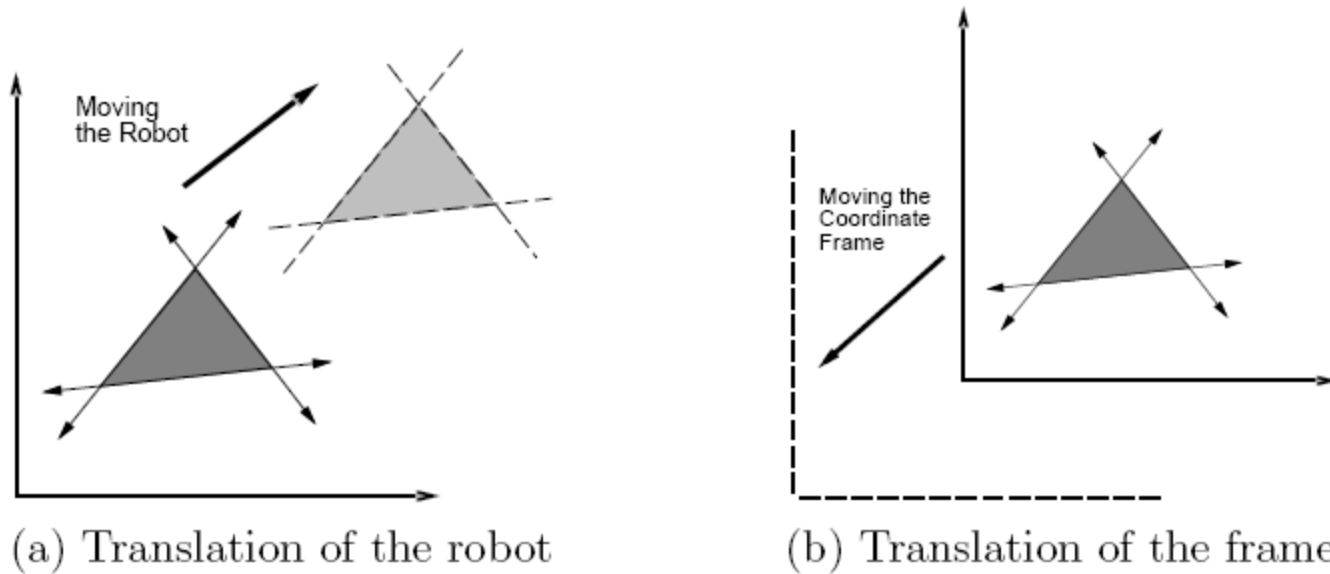
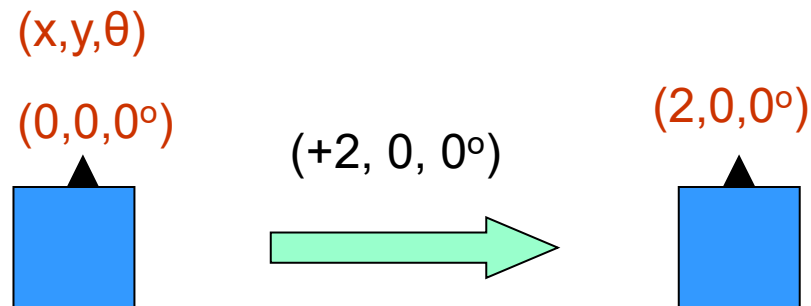


Figure 3.7: Every transformation has two interpretations.



# Rotations

**Rotation** The robot,  $\mathcal{A}$ , can be *rotated* counterclockwise by some angle  $\theta \in [0, 2\pi)$  by mapping every  $(x, y) \in \mathcal{A}$  as

$$(x, y) \mapsto (x \cos \theta - y \sin \theta, x \sin \theta + y \cos \theta). \quad (3.30)$$

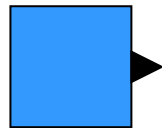
Using a  $2 \times 2$  rotation matrix,

$$R(\theta) = \begin{pmatrix} \cos \theta & -\sin \theta \\ \sin \theta & \cos \theta \end{pmatrix},$$

the transformation can be written as

$$\begin{pmatrix} x \cos \theta - y \sin \theta \\ x \sin \theta + y \cos \theta \end{pmatrix} = R(\theta) \begin{pmatrix} x \\ y \end{pmatrix}.$$

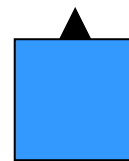
$(0,0,0^\circ)$



$(0, 0, +90^\circ)$



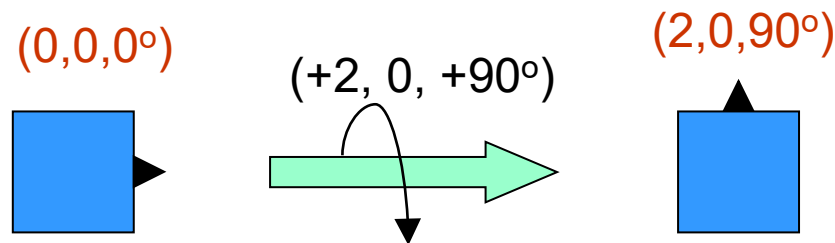
$(0,0,90^\circ)$



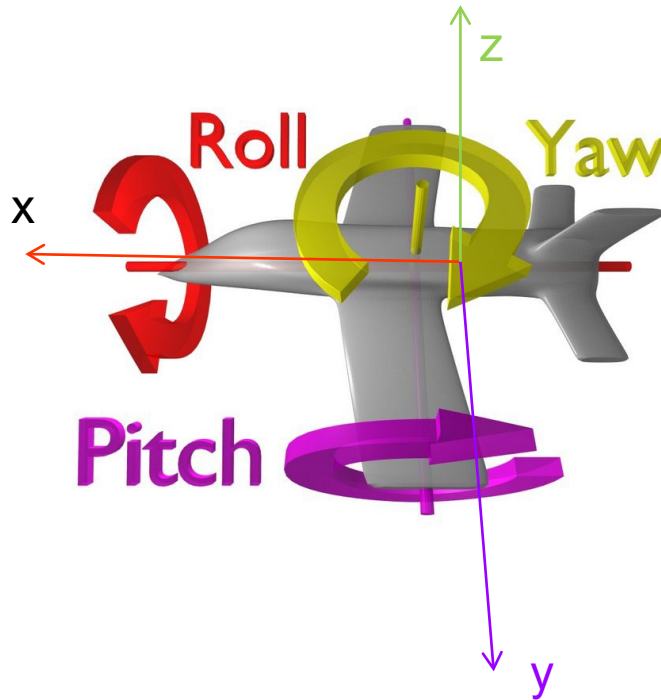
# Rotations + Transformations

**Combining translation and rotation** Suppose a rotation by  $\theta$  is performed, followed by a translation by  $x_t, y_t$ . This can be used to place the robot in any desired position and orientation. Note that translations and rotations do not commute! If the operations are applied successively, each  $(x, y) \in \mathcal{A}$  is transformed to

$$\begin{pmatrix} x \cos \theta - y \sin \theta + x_t \\ x \sin \theta + y \cos \theta + y_t \end{pmatrix}. \quad (3.33)$$



# Yaw, Pitch and Roll



N'importe quelle rotation dans l'espace à trois dimension peut être représentée par une séquence de *yaw*, *pitch*, *roll*

# Chaîne cinématique

- Ensemble de segments rigides articulés reliés par des joints (typiquement en translation ou en rotation)

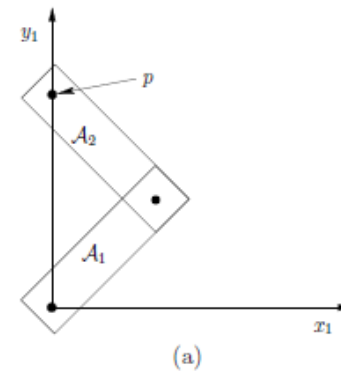
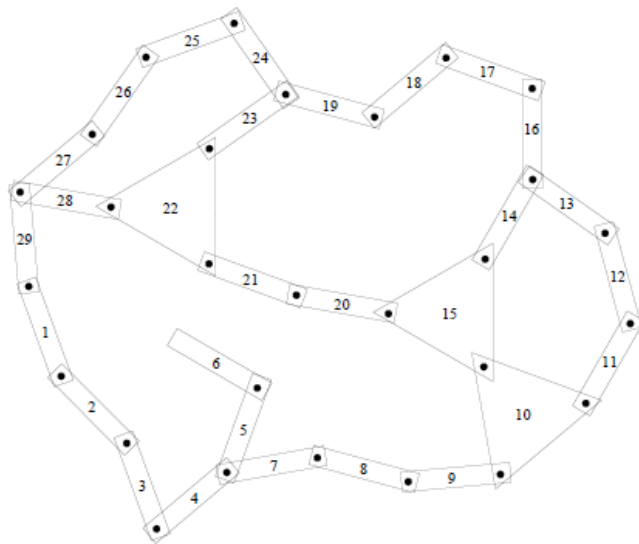
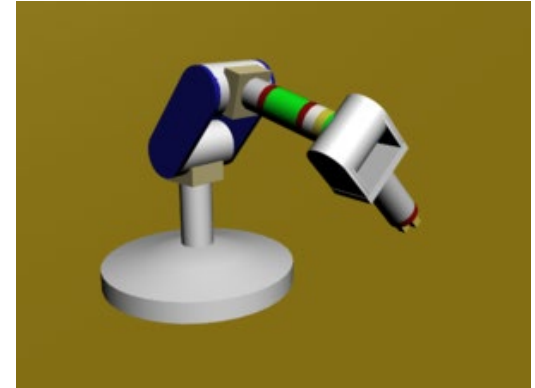


Figure 4.27: A complicated linkage that has 29 links, several loops, links with more than two bodies, and bodies with more than two links. Each integer  $i$  indicates link  $\mathcal{A}_i$ .

# Transformations géométriques pour les chaînes cinématiques

- Les transformations géométriques de bases sont combinées pour obtenir des transformations d'un corps articulé: Voir Section 3.3 du livre.

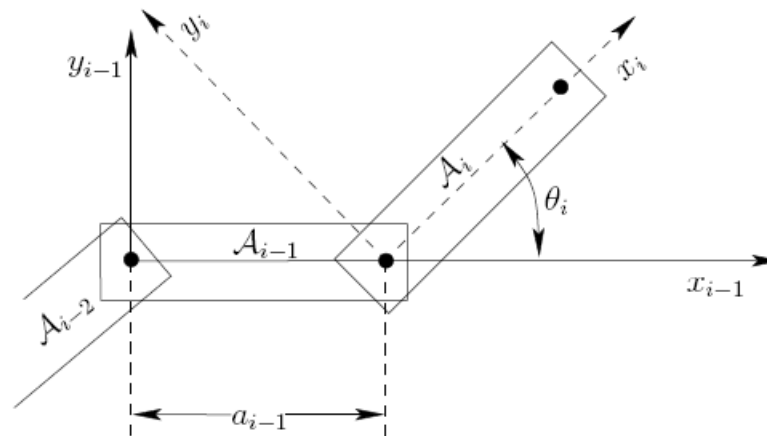
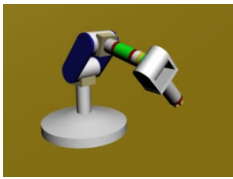
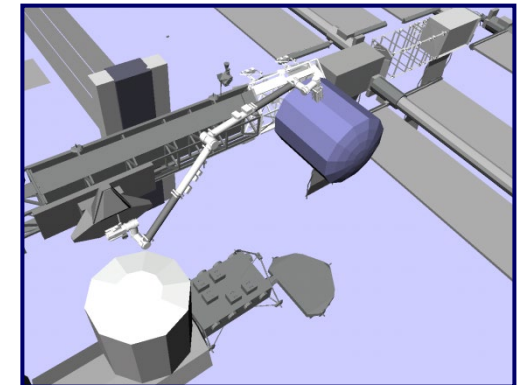
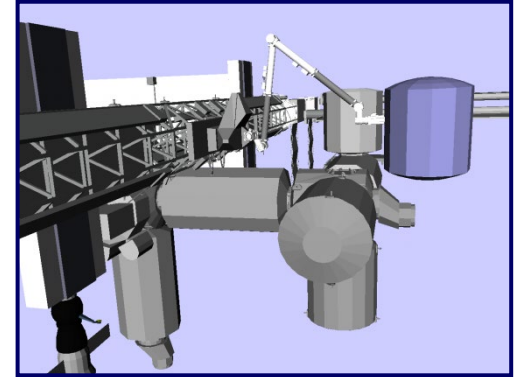


Figure 3.10: The body frame of each  $\mathcal{A}_i$ , for  $1 < i < m$ , is based on the joints that connect  $\mathcal{A}_i$  to  $\mathcal{A}_{i-1}$  and  $\mathcal{A}_{i+1}$ .



# Cinématique inverse

- Déplacement pour les **chaînes cinématiques** lorsqu'il n'y a pas d'obstacle.
- Déterminer les rotations nécessaires pour amener l'effecteur terminal (*end effector*) dans une position donnée
  - » Problème algébrique (optimisation non-linéaire)
    - Utilisation de la matrice jacobienne: relate la vitesse des mouvements des joints par rapport aux différentes positions des effecteurs terminaux.
    - Ne prend pas en compte les obstacles externes.

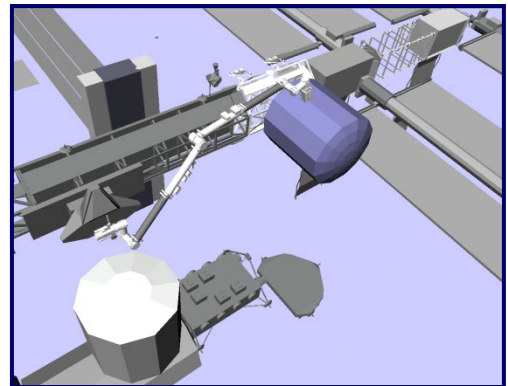
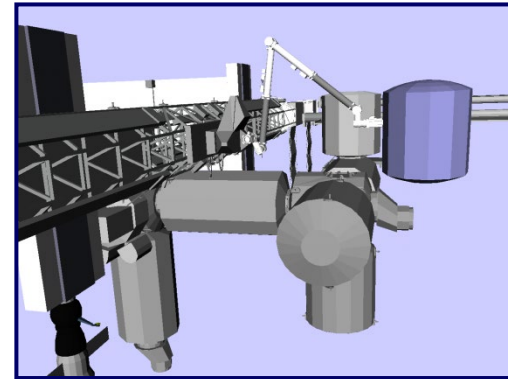


# Plan

- Énoncé du problème
- Cadre de résolution général
- Représentation et transformation des entités
- Espace de configuration
- Approches de planification
  - » Exactes
  - » Par échantillonnage
- Contraintes différentielles
- Outils suggérés

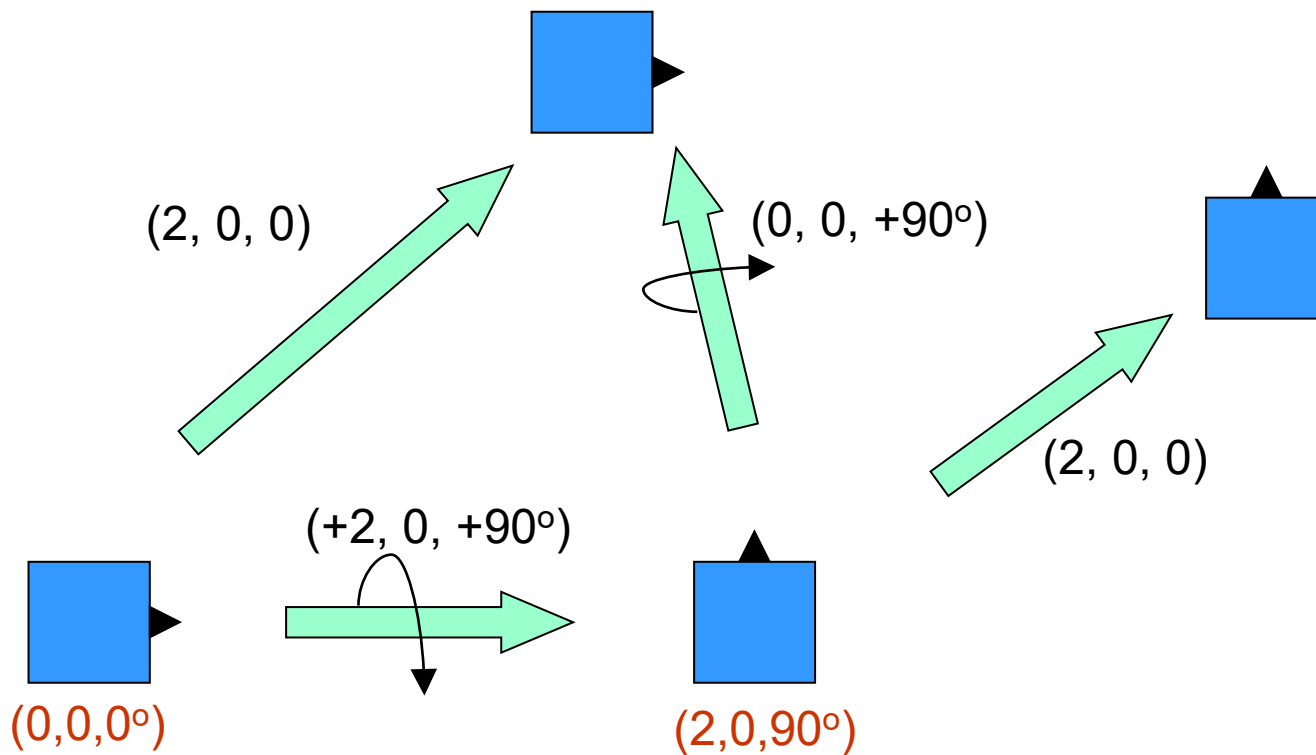
# Espace de configuration

- Ensemble des configurations possibles pour un robot.
  - » Le passage d'une configuration à une autre est le résultat d'une transformation.
  
- Ainsi:
  - » Espace de configuration est synonyme de l'espace d'états.
  - » Transformation est synonyme d'action.



# États/Actions

- États = configurations
- Actions = transformations



# Notation

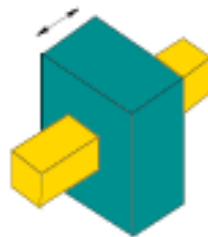
- $C$  : C-space (espace de configuration)
- $C_{obs} \subseteq C$  : configurations en collision avec des obstacles
- $C_{free} \subseteq C$  : configurations sans collision

# Degrés de liberté

- Degrés de liberté = dimension de l'espace de configuration  $C$ 
  - » Un corps rigide, capable de translation et de rotation selon tous les axes a six degré de liberté.
  - » Pour une chaîne cinématique, le nombre de degré de liberté dépend des joints.
    - Les joints limitent le nombre de degrés de libertés.



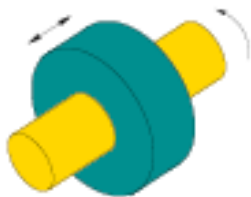
Revolute  
1 Degree of Freedom



Prismatic  
1 Degree of Freedom



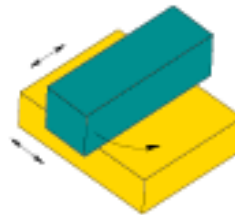
Screw  
1 Degree of Freedom



Cylindrical  
2 Degrees of Freedom



Spherical  
3 Degrees of Freedom



Planar  
3 Degrees of Freedom

# Plan

- Énoncé du problème
- Cadre de résolution général
- Représentation et transformation des entités
- Espace de configuration
- **Approches de planification**
  - » Exactes
  - » Par échantillonnage
- Contraintes différentielles
- Outils suggérés

# Énoncé du problème (Rappel)

- *Planification de trajectoire: Calculer une trajectoire géométrique d'un solide (articulé ou non) sans collision avec des obstacles statiques.*

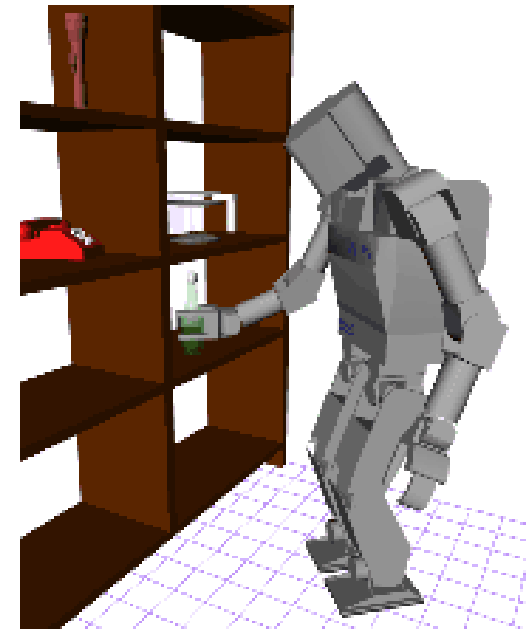
## *Entrée:*

- Géométrie du robot et des obstacles
- Cinétique du robot (degrés de liberté)
- Configurations initiale et finale

Planificateur de trajectoires

## *Sortie:*

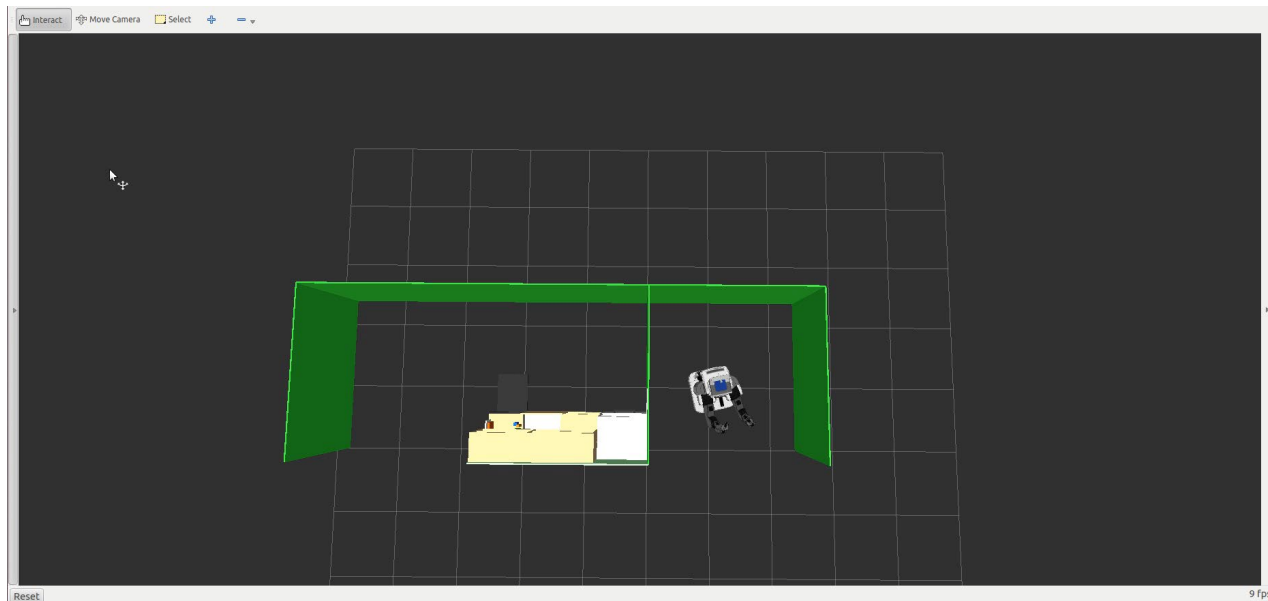
- Un chemin sans collision joignant la configuration initiale à la configuration finale



S. Kagami. U of Tokyo

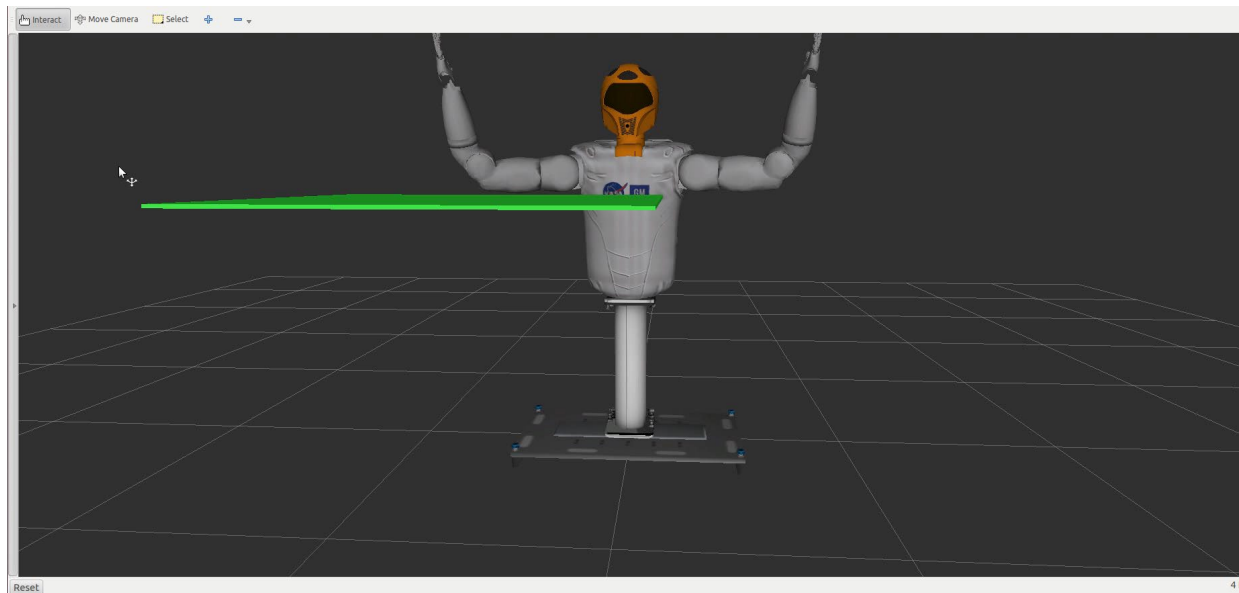
# Hypothèses

- Transformations géométriques seulement (pas de contraintes différentielles pour l'instant)
- Obstacles statiques
- Environnement déterministe



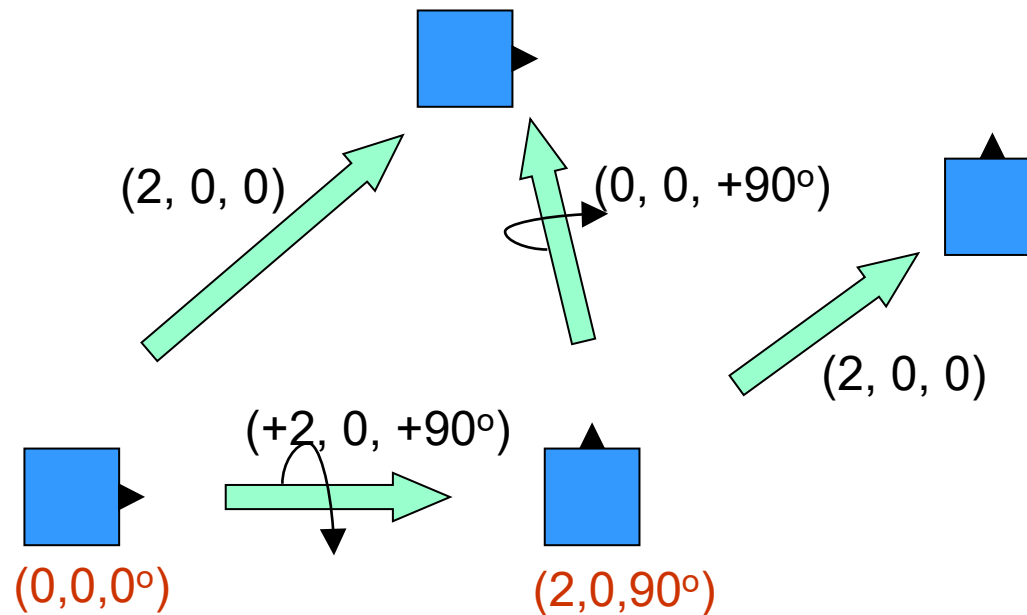
# Hypothèses

- Transformations géométriques seulement (pas de contraintes différentielles pour l'instant)
- Obstacles statiques
- Environnement déterministe



# Roadmaps

- Ces approches construisent des *roadmaps*, qui représentent des configurations atteignables par des transformations géométriques sans collisions
- États = configurations discrètes
- Actions = chemins



# Sujets couverts

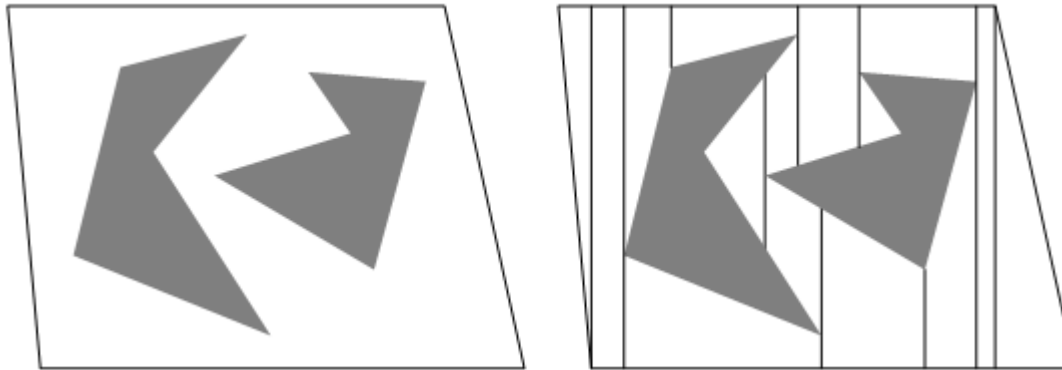
- Introduction
- Exemples d'applications
- Représentation et transformation des entités
- Espace de configuration
- Approches de planification
  - » Exactes
  - » Par échantillonnage
- Contraintes différentielles
- Outils suggérés

# Approches exactes

- Approches permettant de trouver des chemins sans approximations
  - » Par opposition aux approches par échantillonnage

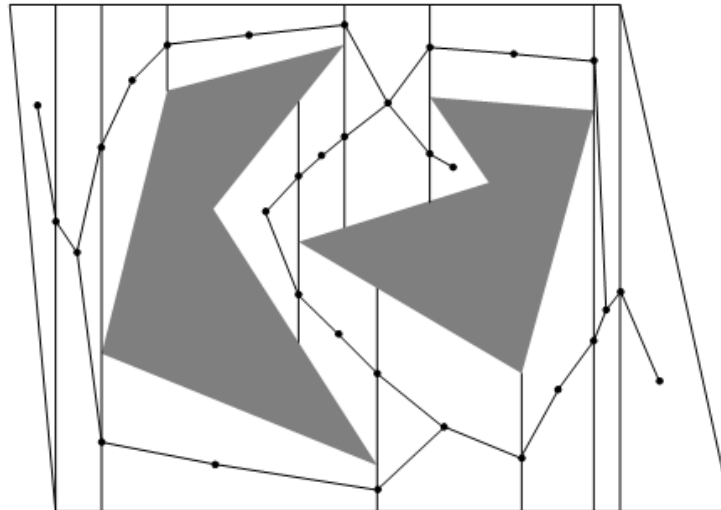
# Décomposition verticale

- Construction du *roadmap* capturant complètement la topologie de l'espace de configuration



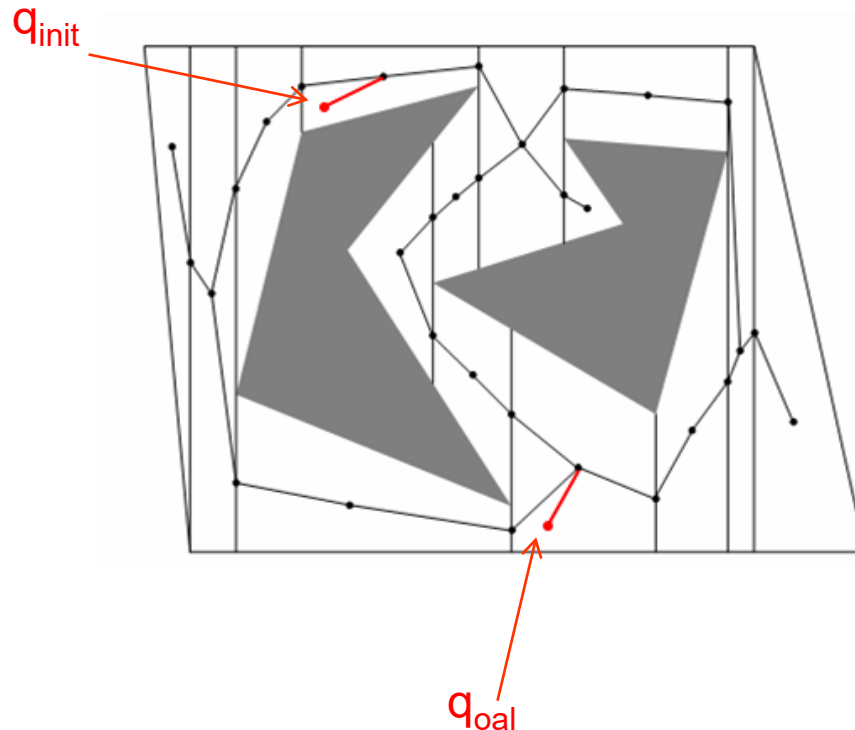
# Décomposition verticale

- Construction du *roadmap* capturant complètement la topologie de l'espace de configuration



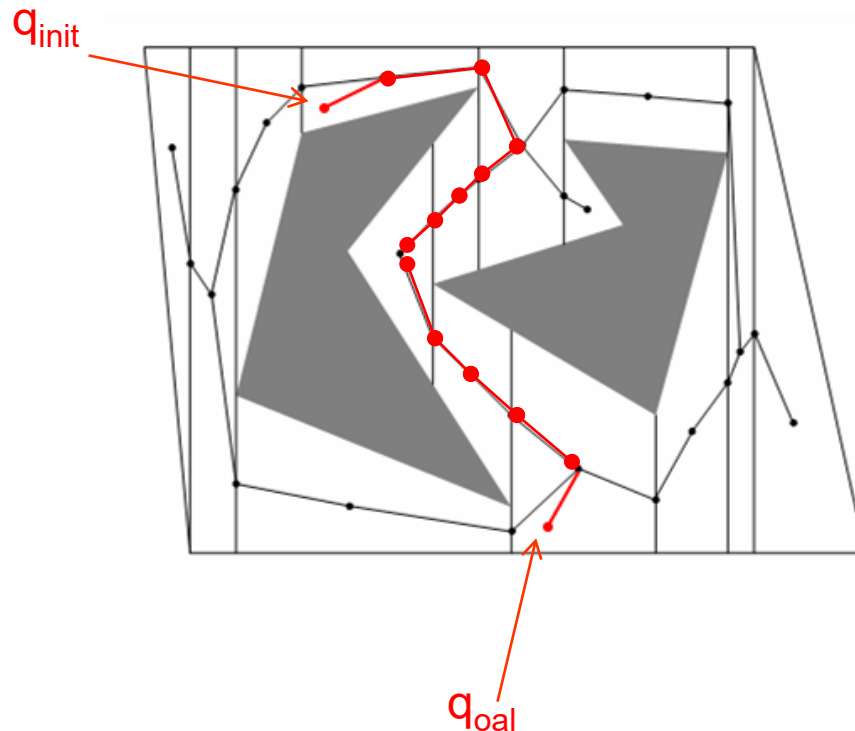
# Décomposition verticale

- Réduit le problème de planification d'une trajectoire à la recherche d'un chemin sur le roadmap.



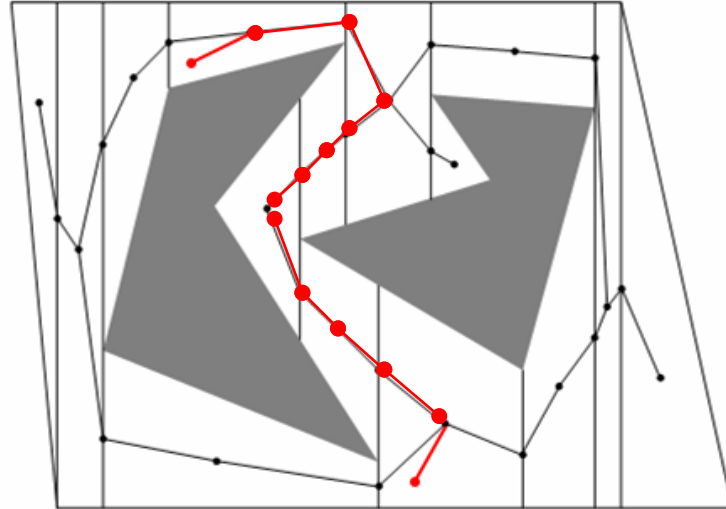
# Décomposition verticale

- Réduit le problème de planification d'une trajectoire à la recherche d'un chemin sur le roadmap.



# Approches exactes

- Propriétés:



1. Accessibilité: possible de connecter facilement n'importe quelle configuration viable (pas dans un obstacle) à la *roadmap*
2. Conserve la connectivité: si un chemin existe entre deux états, un chemin (potentiellement différent) qui passe par la *roadmap* existe aussi

# Cadre générale de résolution du problème

Problème continu  
(espace de configuration + contraintes)



**Discrétisation**  
(décomposition, échantillonnage)



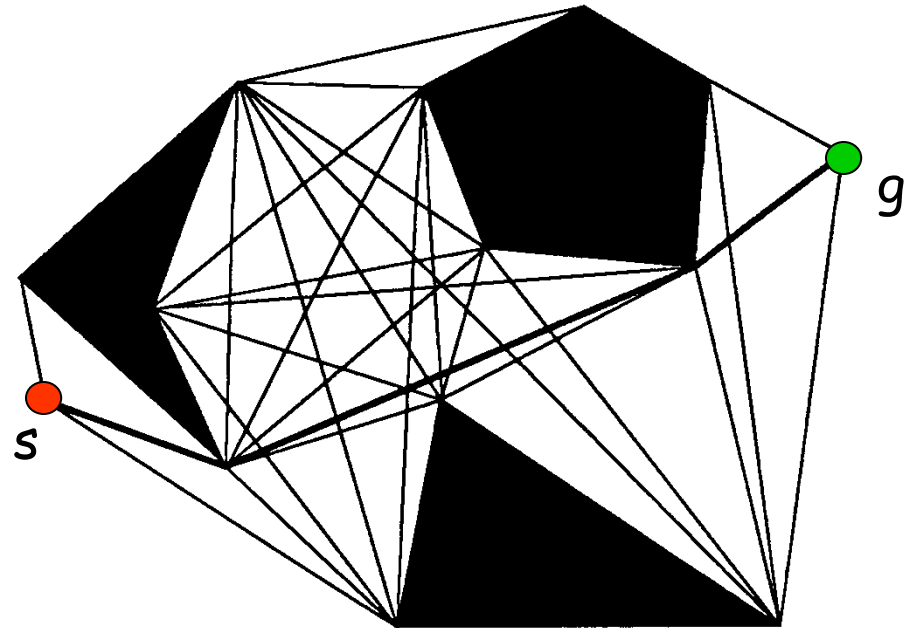
Recherche heuristique dans un graphe  
(A\* ou similaire)

# Algorithm (sketch)

1. Compute cell decomposition down to some resolution
2. Identify start and goal cells
3. Search for sequence of empty/mixed cells between start and goal cells ( $A^*$ )
4. If no sequence, then exit with **no path**
5. If sequence of empty cells, then exit with **solution**
6. If resolution threshold achieved, then exit with **failure**
7. Decompose further the mixed cells
8. Return to **2**

# Approches avec un graphe de visibilité

- Introduit avec le robot Shakey à SRI dans les années 60.
- Efficace pour l'espace 2D



# Algorithme simplifié

VG signifie « *Visibility Graph* » (Graphe de visibilité)

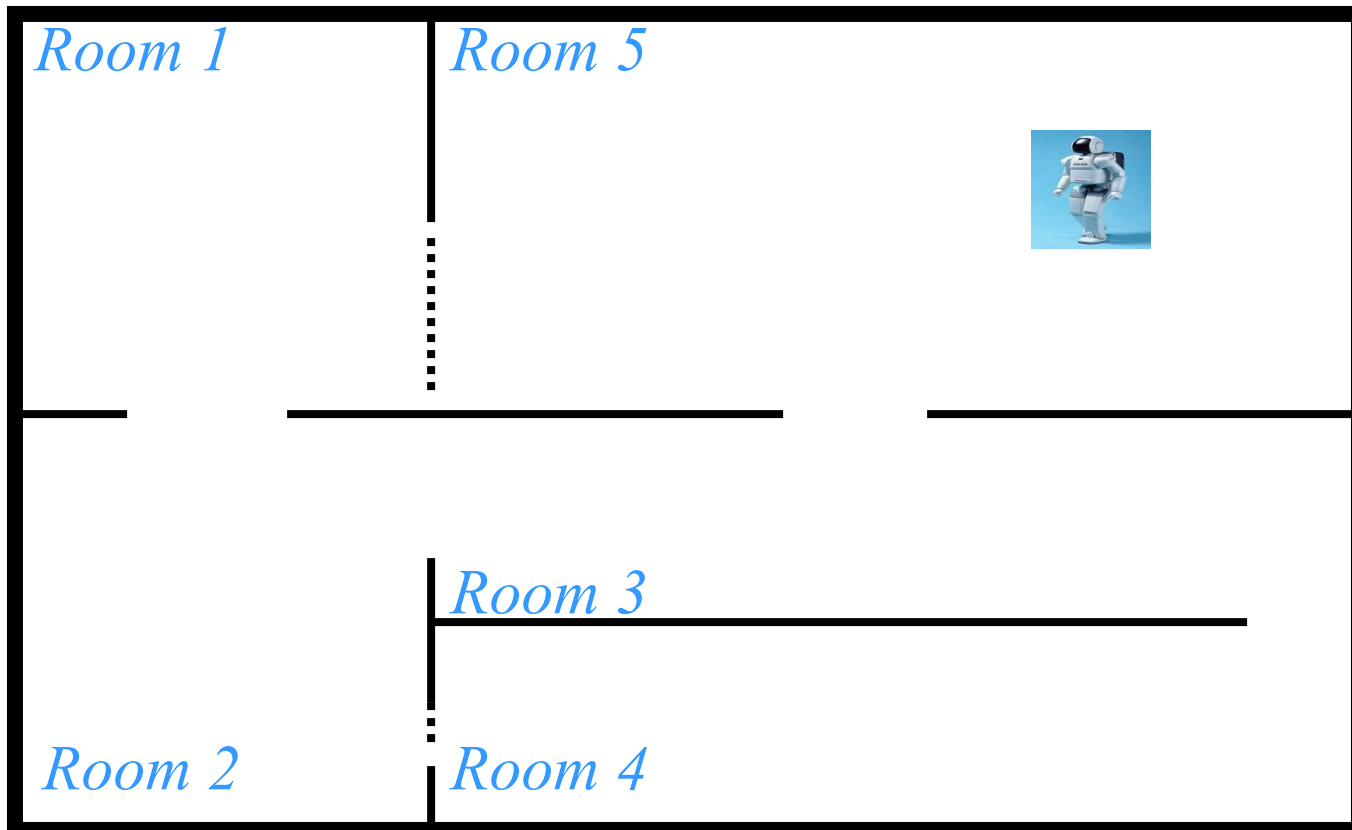
## Algorithm

- Install all obstacles vertices in  $VG$ , plus the start and goal positions
- For every pair of nodes  $u, v$  in  $VG$
- If  $\text{segment}(u,v)$  is an obstacle edge then
- insert  $(u,v)$  into  $VG$
- else
- for every obstacle edge  $e$
- if  $\text{segment}(u,v)$  does not intersects  $e$
- insert  $(u,v)$  into  $VG$
- Search  $VG$  using  $A^*$

Complexité :  $O(n^3)$ , avec  $n$  = nombre de sommets des obstacles.

Il existe des versions améliorés  $O(n)$ .

# Décomposition en grille

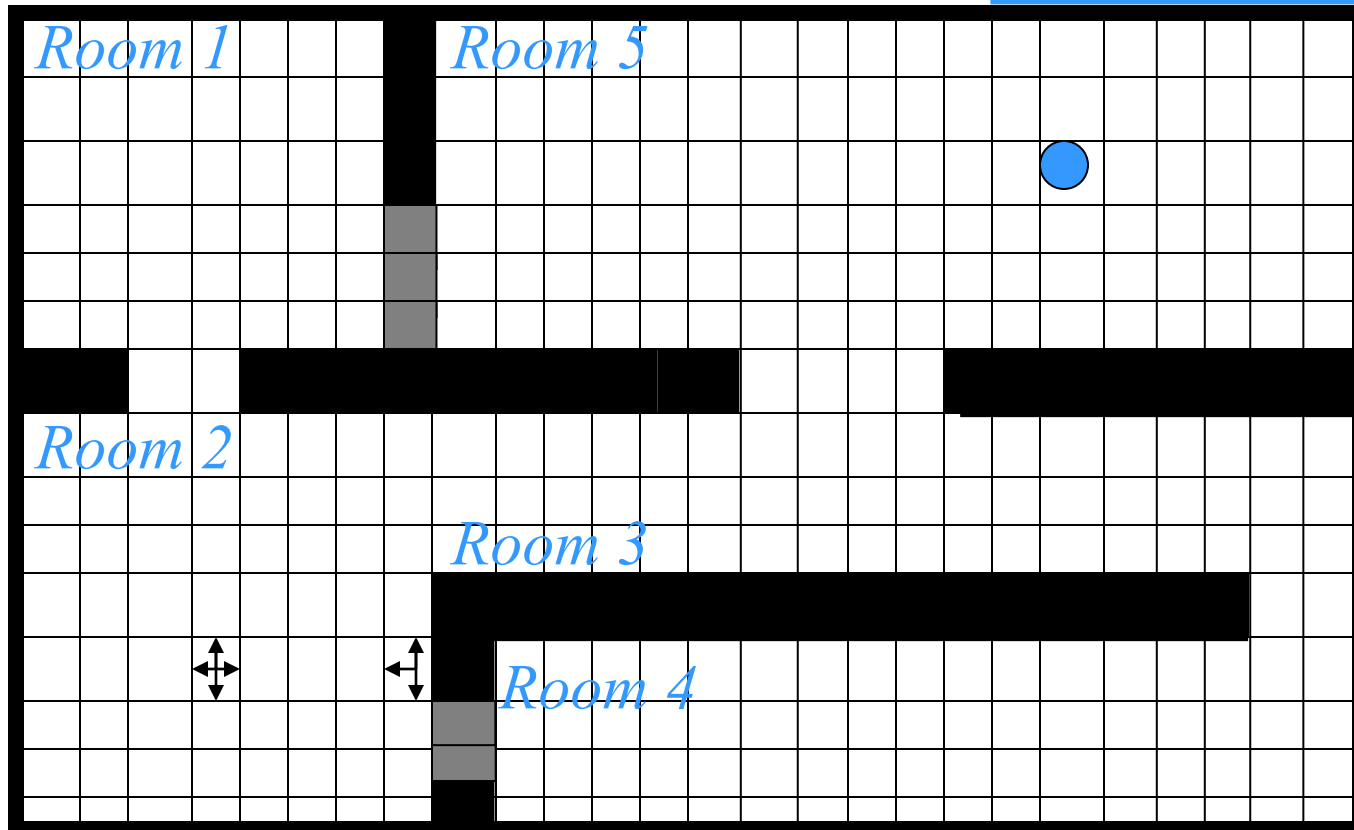


# Décomposition en grille

Décomposer la carte en grille (*occupancy grid*):  
4-connected (illustré ici) ou 8-connected.

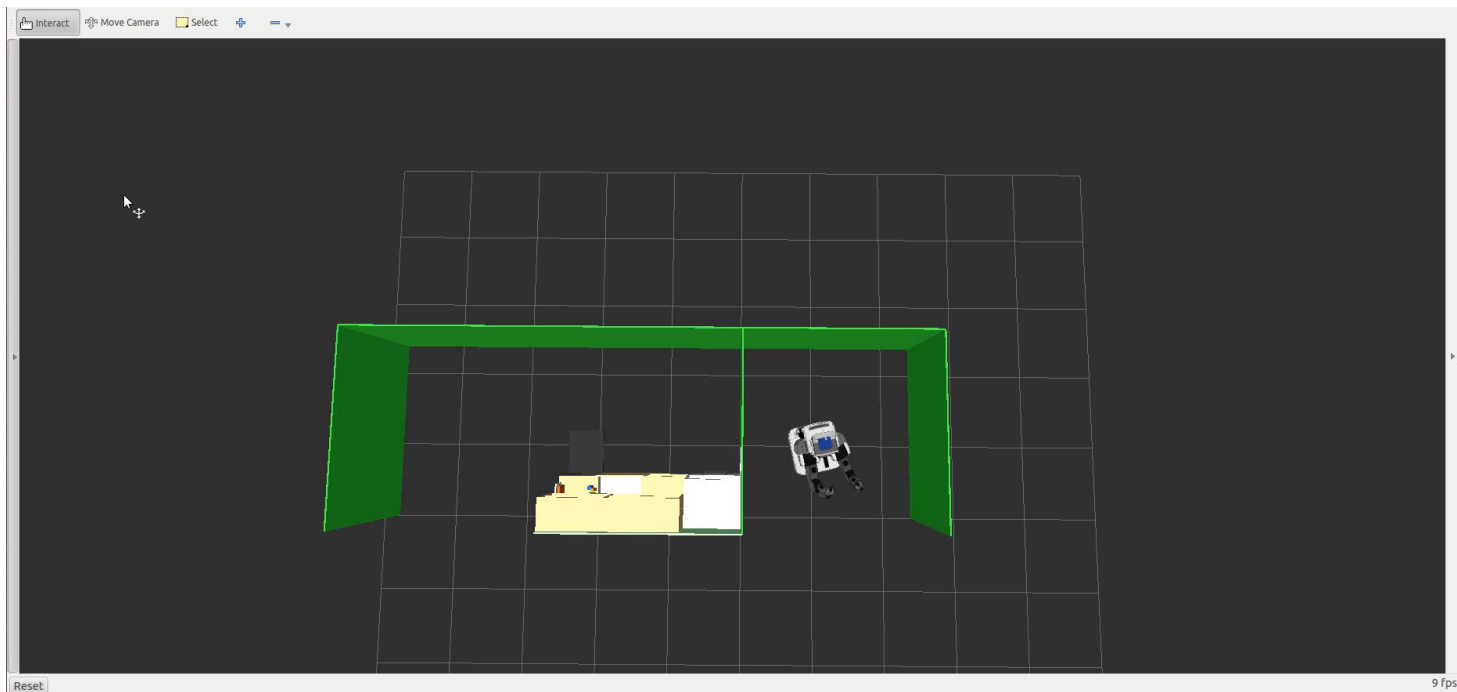
## Transitions:

- Tourner à gauche →
- Tourner à droite ←
- Avancer



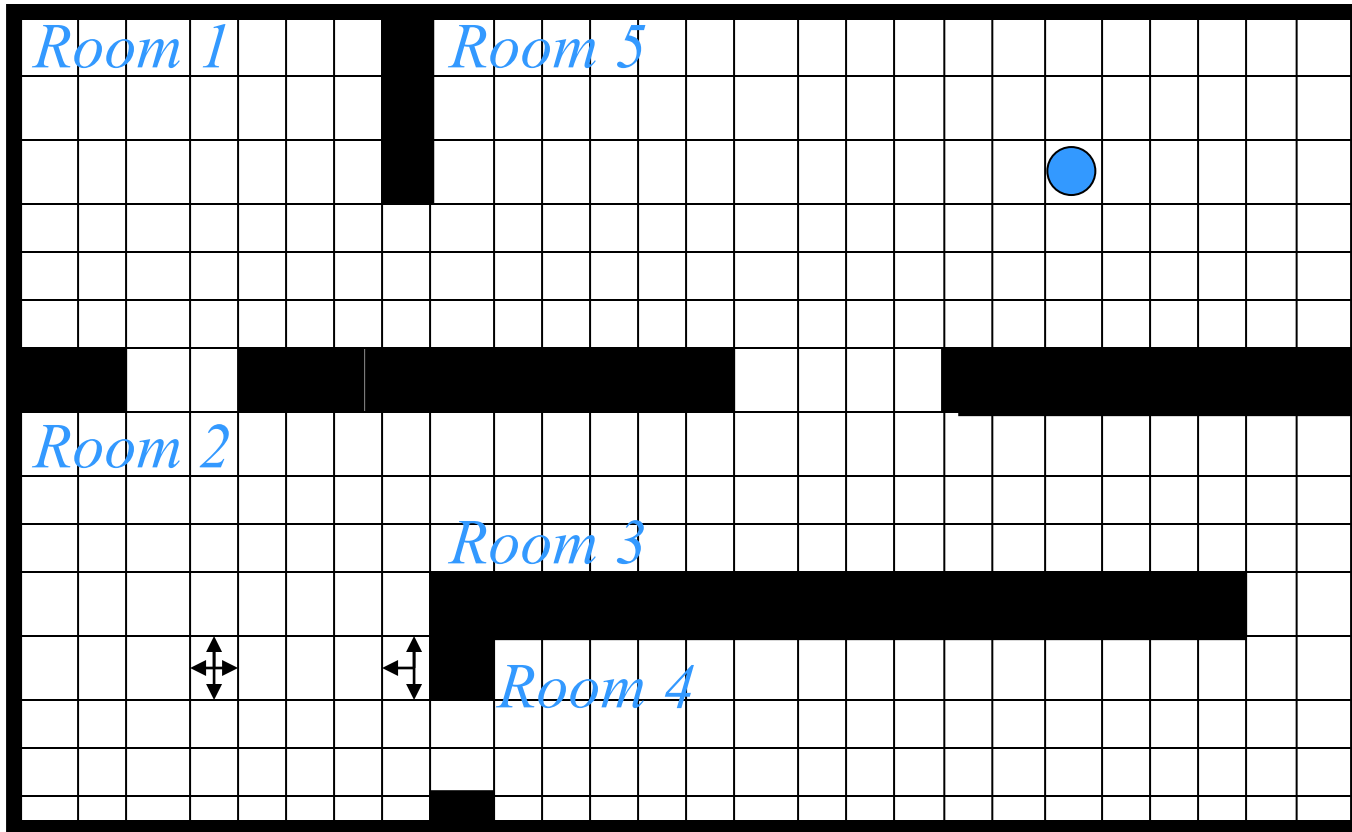
# Décomposition en grille

- Fonctionne bien pour des robots mobiles non articulés. Par exemple, déplacer PR2 sur sa base d'une pièce à une autre. Fonctionne généralement moins bien pour les bras-articulés complexes.



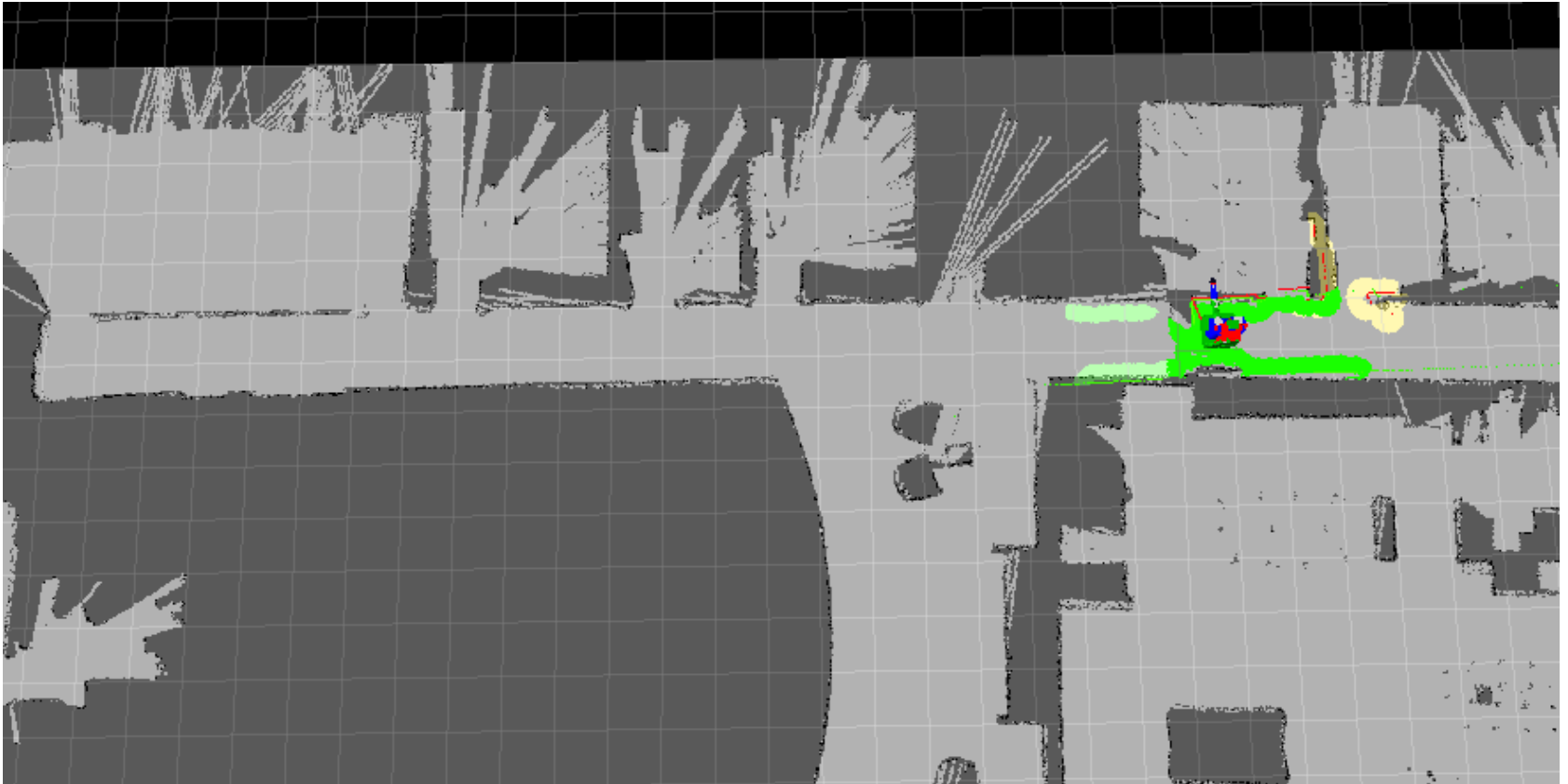
# Cartes de coût

- Binaire (case occupée ou non)



# Cartes de coût

- Coût basé sur les obstacles fixes et les capteurs (exemple dans ROS)



# Décomposition en grille

1. Compute cell decomposition down to some resolution
2. Identify start and goal cells
3. Search for sequence of empty/mixed cells between start and goal cells
4. If no sequence, then exit with **no path**
5. If sequence of empty cells, then exit with **solution**
6. If resolution threshold achieved, then exit with **failure**
7. Decompose further the mixed cells
8. Return to **2**

# Approches exactes

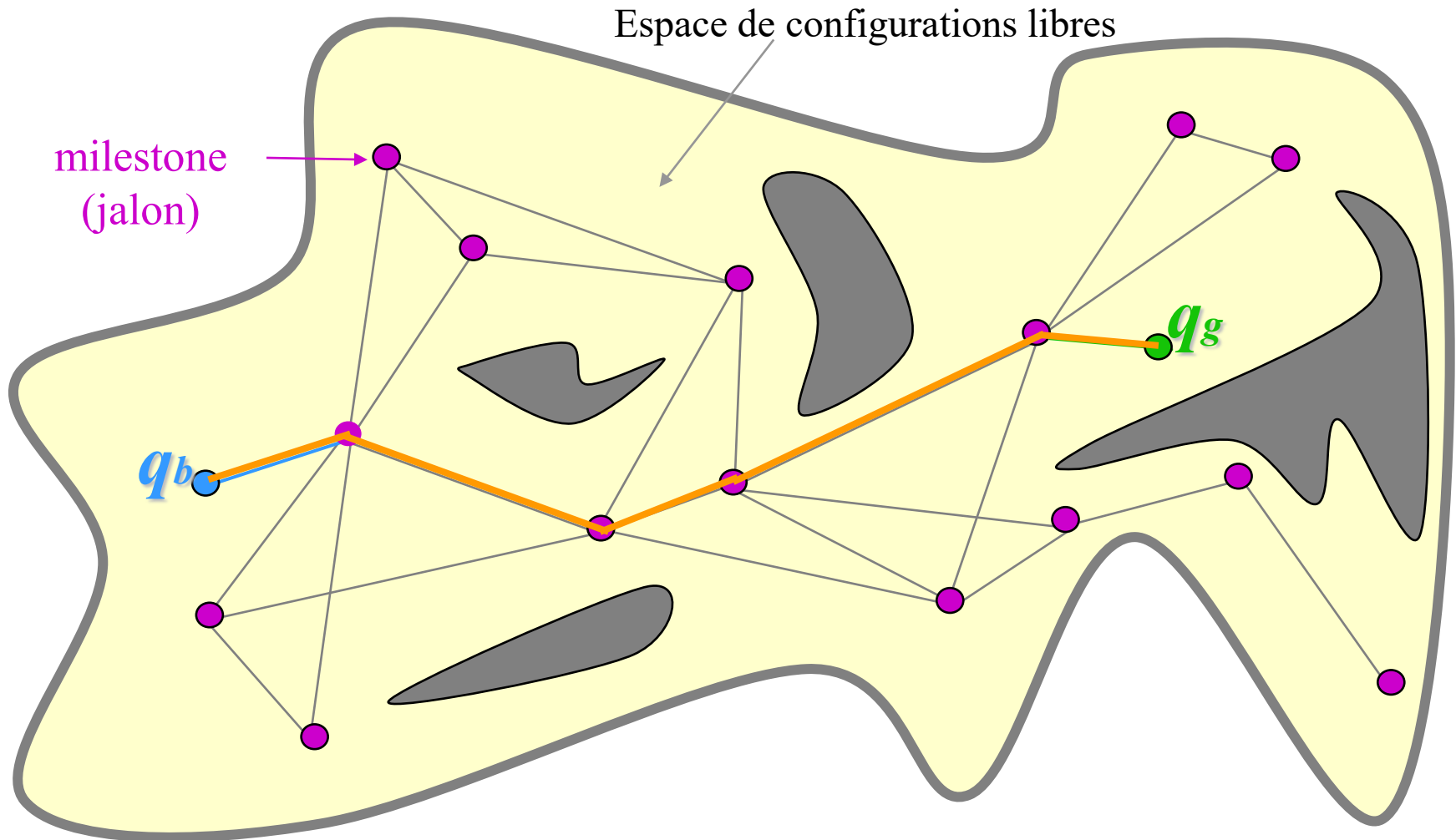
## Avantages / Inconvénients

- Avantages
  - » Efficaces si dimension basse, e.g. *point-robot* dans  $C = \mathbb{R}^2$
  - » Garanties théoriques (complétude, bornes sur le temps d'exécution...)
  - » Appropriées si plusieurs requêtes seront faites dans l'environnement (*multi-query*)
- Inconvénients
  - » Lent si nombre élevé de dimensions
  - » Implémentation difficile
  - » Représentation algébrique des obstacles

# Plan

- Énoncé du problème
- Cadre de résolution général
- Représentation et transformation des entités
- Espace de configuration
- **Approches de planification**
  - » Exactes
  - » Par échantillonnage
- Contraintes différentielles
- Outils suggérés

# Approche *roadmap* probabiliste (PRM - probabilistic roadmap)



[Kavraki, Svetska, Latombe, Overmars, 95]

# Rapidly Exploring Dense Tree (RDT)

[LaValle, Section 5]

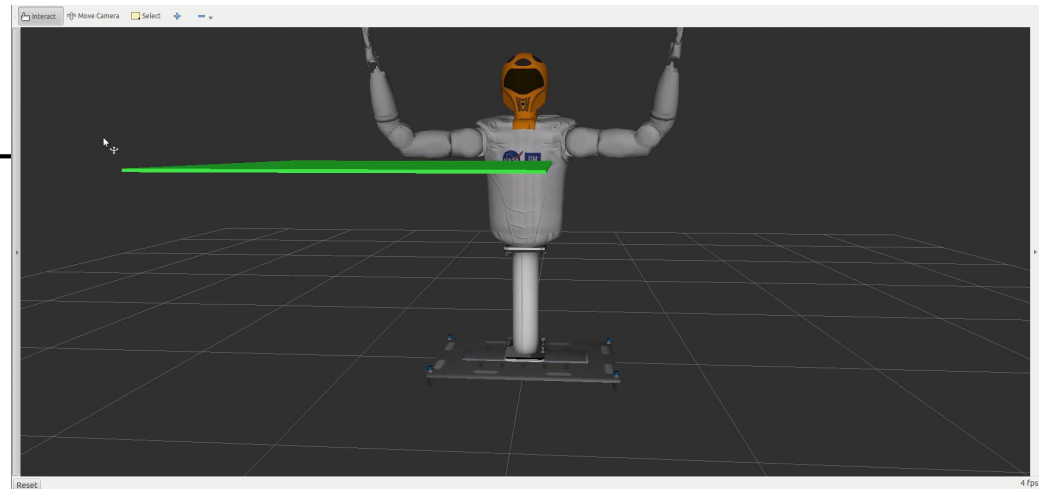
- RRT (*Rapidly Exploring Random Tree*): cas particulier de RDT avec séquence aléatoire.

---

RDT( $q_0$ )

```
1   $\mathcal{G}.$ init( $q_0$ );  
2  for  $i = 1$  to  $k$  do  
3       $q_n \leftarrow$  NEAREST( $S, \alpha(i)$ );  
4       $q_s \leftarrow$  STOPPING-CONFIGURATION( $q_n, \alpha(i)$ );  
5      if  $q_s \neq q_n$  then  
6           $\mathcal{G}.$ add_vertex( $q_s$ );  
7           $\mathcal{G}.$ add_edge( $q_n, q_s$ );
```

---



# Rapidly Exploring Dense Tree (RDT)

[LaValle, Section 5]

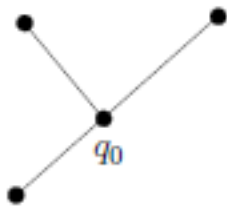
- RRT (*Rapidly Exploring Random Tree*): cas particulier de RDT avec séquence aléatoire.

---

RDT( $q_0$ )

```
1   $\mathcal{G}.\text{init}(q_0)$ ;  
2  for  $i = 1$  to  $k$  do  
3       $q_n \leftarrow \text{NEAREST}(S, \alpha(i))$ ;  
4       $q_s \leftarrow \text{STOPPING-CONFIGURATION}(q_n, \alpha(i))$ ;  
5      if  $q_s \neq q_n$  then  
6           $\mathcal{G}.\text{add\_vertex}(q_s)$ ;  
7           $\mathcal{G}.\text{add\_edge}(q_n, q_s)$ ;
```

---



(a)



(b)

# Rapidly Exploring Dense Tree (RDT)

[LaValle, Section 5]

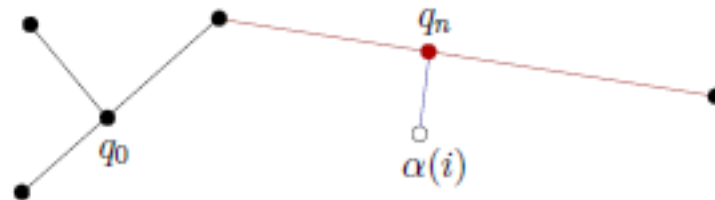
- RRT (*Rapidly Exploring Random Tree*): cas particulier de RDT avec séquence aléatoire.

---

RDT( $q_0$ )

```
1   $\mathcal{G}.\text{init}(q_0)$ ;  
2  for  $i = 1$  to  $k$  do  
3       $q_n \leftarrow \text{NEAREST}(S, \alpha(i))$ ;  
4       $q_s \leftarrow \text{STOPPING-CONFIGURATION}(q_n, \alpha(i))$ ;  
5      if  $q_s \neq q_n$  then  
6           $\mathcal{G}.\text{add\_vertex}(q_s)$ ;  
7           $\mathcal{G}.\text{add\_edge}(q_n, q_s)$ ;
```

---



# Rapidly Exploring Dense Tree (RDT)

[LaValle, Section 5]

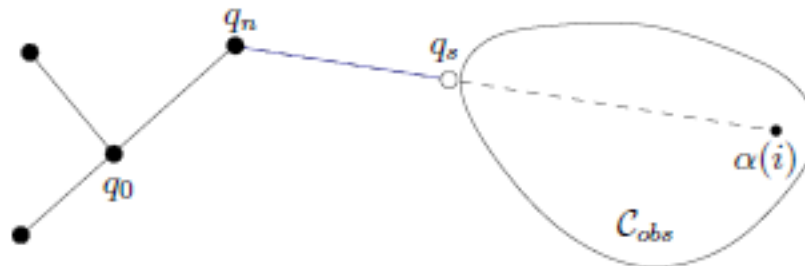
- RRT (*Rapidly Exploring Random Tree*): cas particulier de RDT avec séquence aléatoire.

---

RDT( $q_0$ )

```
1   $\mathcal{G}.\text{init}(q_0)$ ;  
2  for  $i = 1$  to  $k$  do  
3       $q_n \leftarrow \text{NEAREST}(S, \alpha(i))$ ;  
4       $q_s \leftarrow \text{STOPPING-CONFIGURATION}(q_n, \alpha(i))$ ;  
5      if  $q_s \neq q_n$  then  
6           $\mathcal{G}.\text{add\_vertex}(q_s)$ ;  
7           $\mathcal{G}.\text{add\_edge}(q_n, q_s)$ ;
```

---



# Rapidly Exploring Dense Tree (RDT)

[LaValle, Section 5]

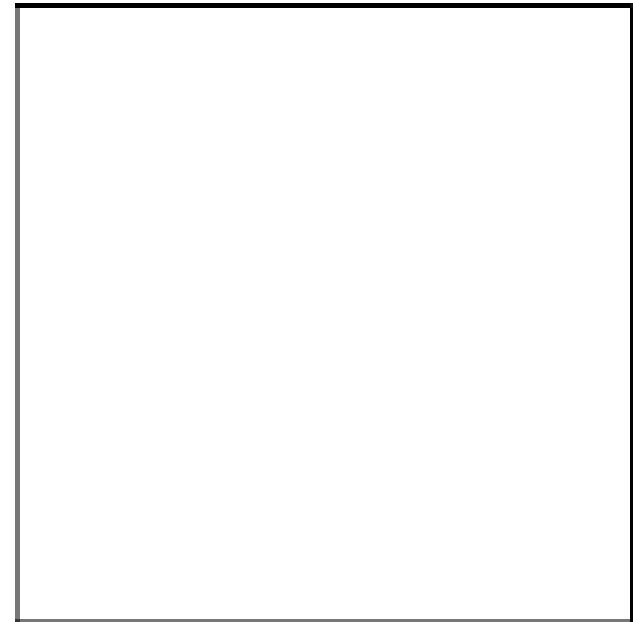
- RRT (*Rapidly Exploring Random Tree*): cas particulier de RDT avec séquence aléatoire.

---

RDT( $q_0$ )

```
1   $\mathcal{G}.$ init( $q_0$ );  
2  for  $i = 1$  to  $k$  do  
3       $q_n \leftarrow$  NEAREST( $S, \alpha(i)$ );  
4       $q_s \leftarrow$  STOPPING-CONFIGURATION( $q_n, \alpha(i)$ );  
5      if  $q_s \neq q_n$  then  
6           $\mathcal{G}.$ add_vertex( $q_s$ );  
7           $\mathcal{G}.$ add_edge( $q_n, q_s$ );
```

---



# RDT - Bidirectionnel [LaValle, Section 5]

---

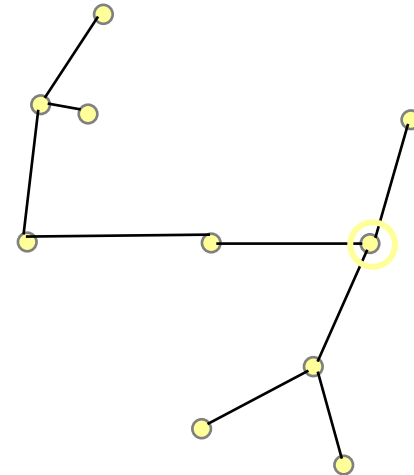
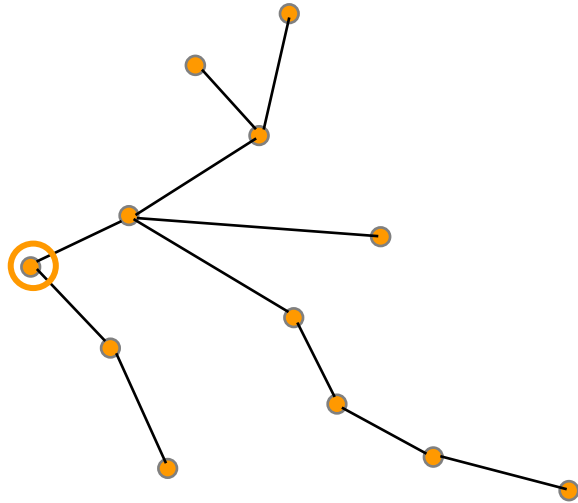
```
RDT_BALANCED_BIDIRECTIONAL( $q_I, q_G$ )
1   $T_a$ .init( $q_I$ );  $T_b$ .init( $q_G$ );
2  for  $i = 1$  to  $K$  do
3       $q_n \leftarrow$  NEAREST( $S_a, \alpha(i)$ );
4       $q_s \leftarrow$  STOPPING-CONFIGURATION( $q_n, \alpha(i)$ );
5      if  $q_s \neq q_n$  then
6           $T_a$ .add_vertex( $q_s$ );
7           $T_a$ .add_edge( $q_n, q_s$ );
8           $q'_n \leftarrow$  NEAREST( $S_b, q_s$ );
9           $q'_s \leftarrow$  STOPPING-CONFIGURATION( $q'_n, q_s$ );
10         if  $q'_s \neq q'_n$  then
11              $T_b$ .add_vertex( $q'_s$ );
12              $T_b$ .add_edge( $q'_n, q'_s$ );
13         if  $q'_s = q_s$  then return SOLUTION;
14         if  $|T_b| > |T_a|$  then SWAP( $T_a, T_b$ );
15 return FAILURE
```

---

# RDT Bidirectionnel

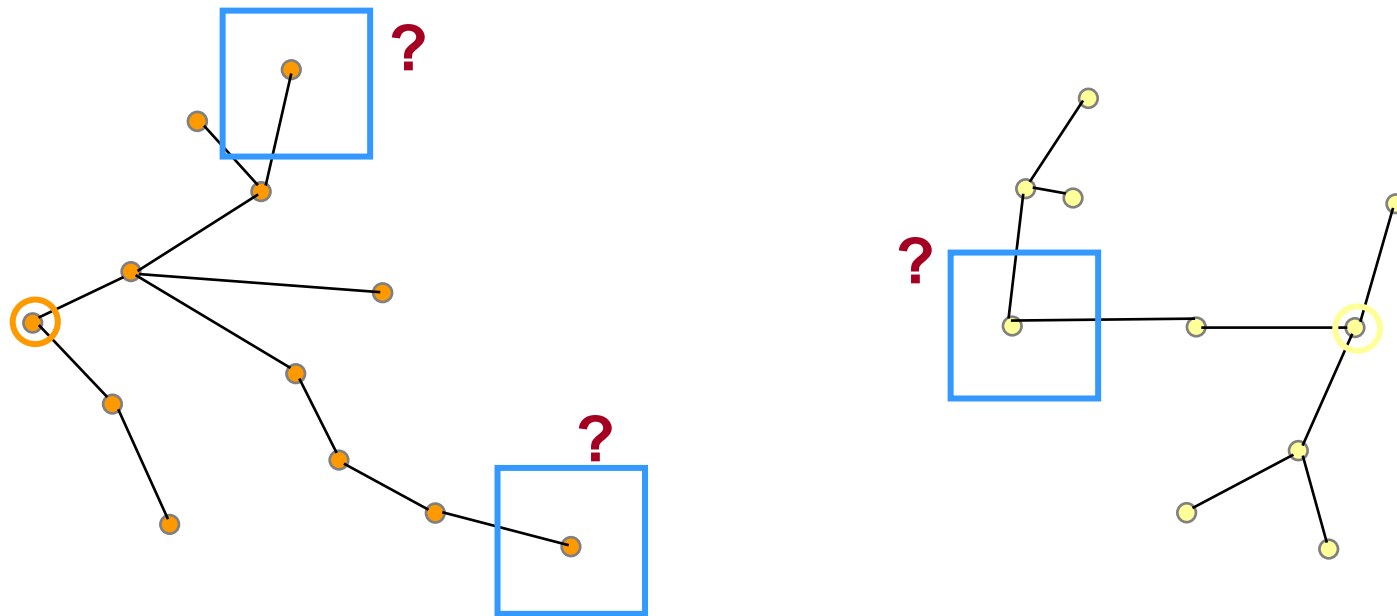


# RDT Bidirectionnel



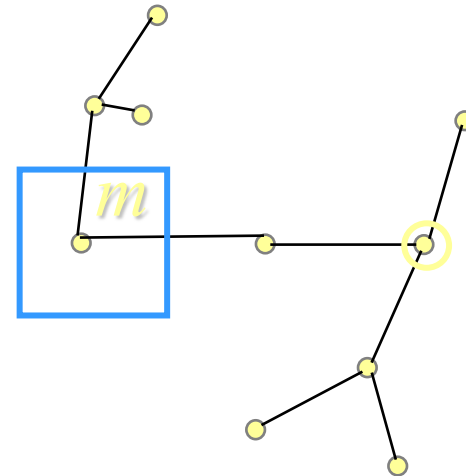
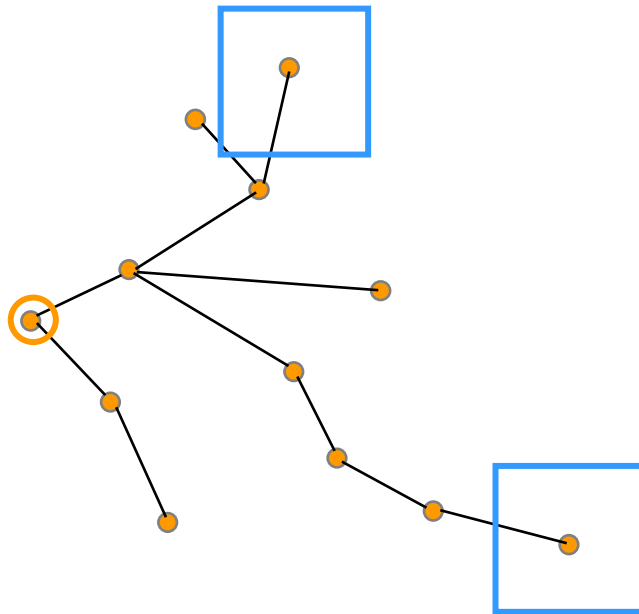
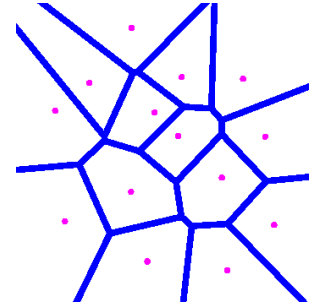
On souhaite faire grandir l'arbre

# RDT Bidirectionnel



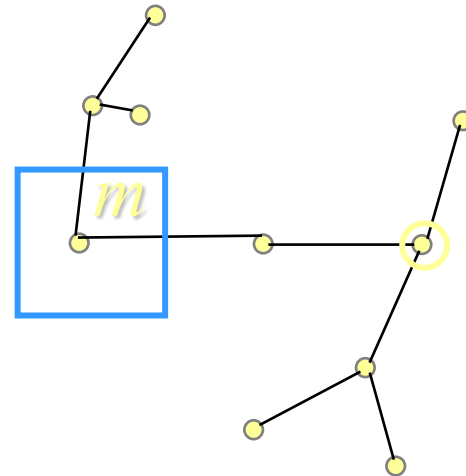
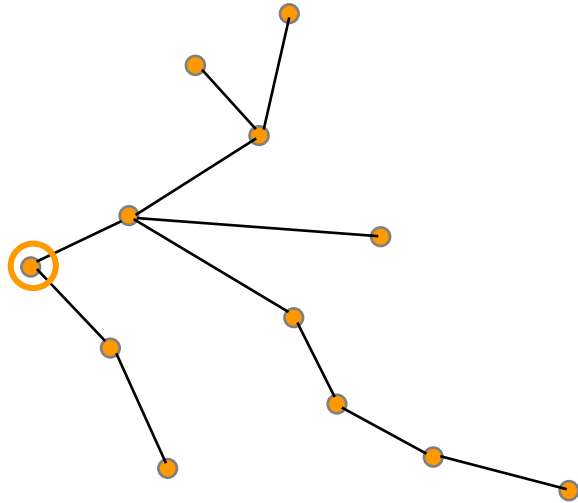
On souhaite faire grandir l'arbre; il faut trouver un noeud à étendre

# RDT Bidirectionnel



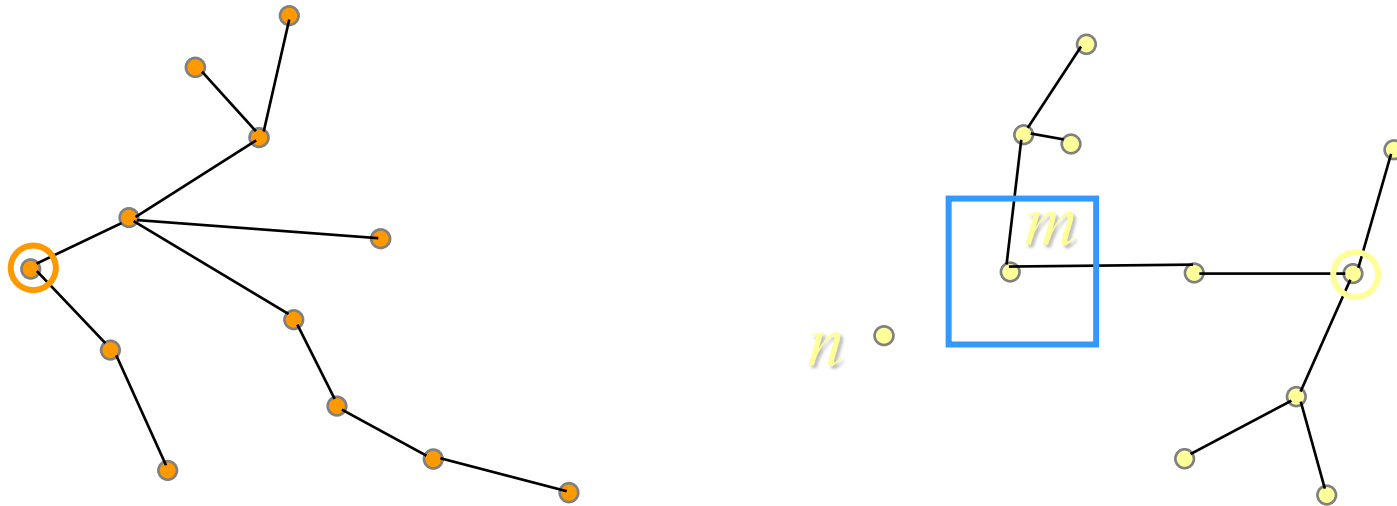
Chaque noeud a une probabilité d'être étendu  
inversement proportionnelle à la densité de son voisinage.

# RDT Bidirectionnel



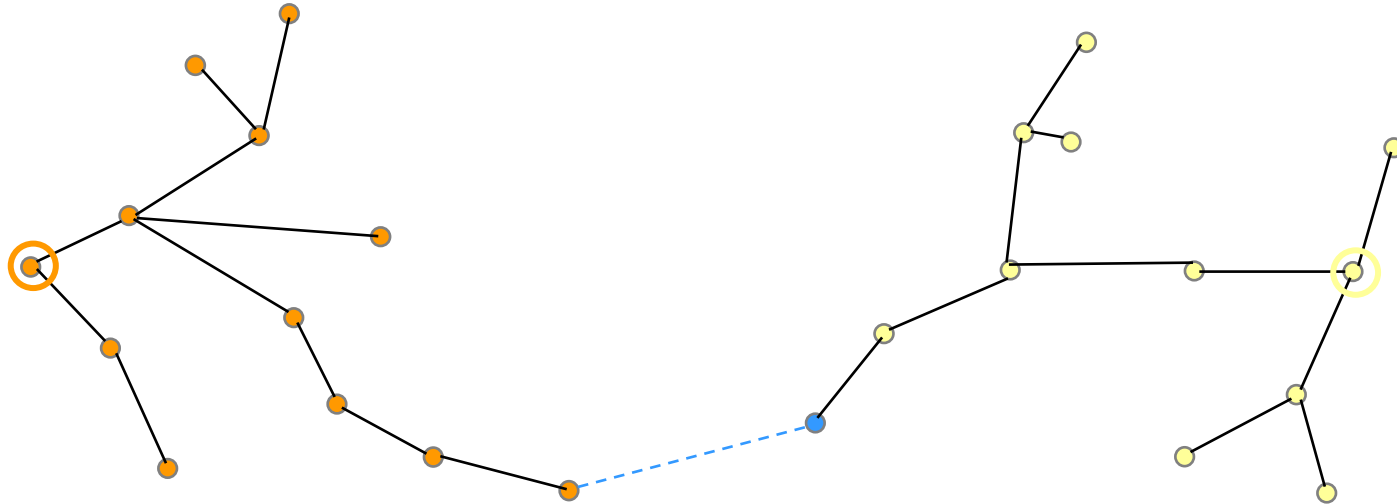
Supposons que  $n$  est choisi

# RDT Bidirectionnel



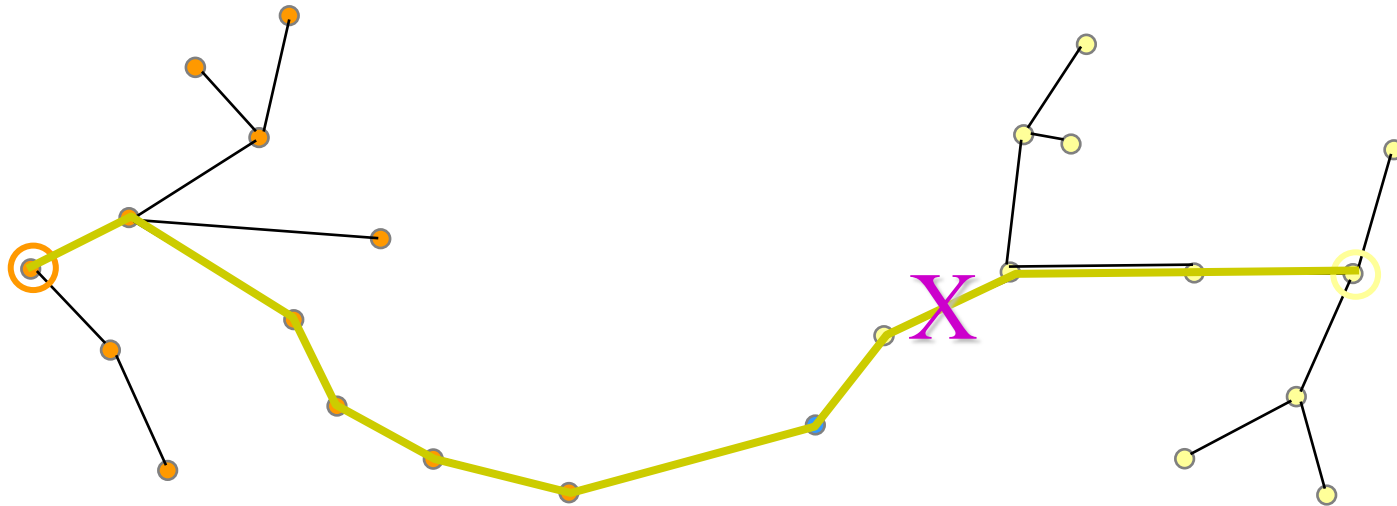
Un nouveau  $n$  est généré dans un voisinage proche de  $m$

# RDT Bidirectionnel

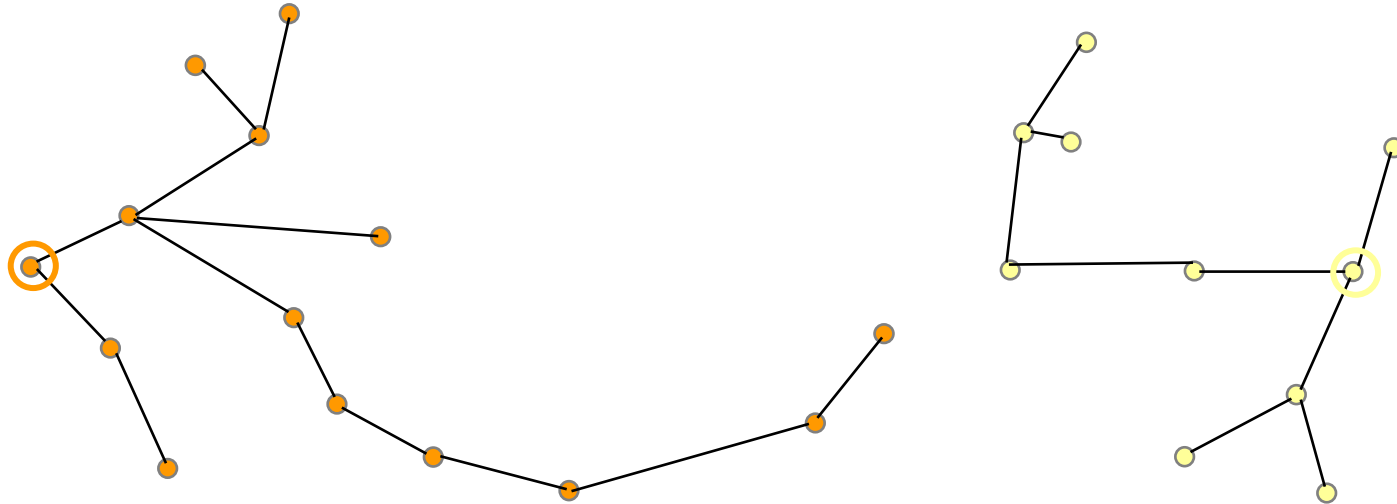




# RDT Bidirectionnel



# RDT Bidirectionnel



La vérification de collision pour les segments est mémorisée

# Demo RDT Bidirectionnel



# Plusieurs variantes

- RDT : Manuel de reference : (LaValle et al., 2006)
- RRT : Version de RDT qu'on vient de voir
- RRT\*
- SBL [Hsu, Latombe, Motwani, 1997]
- Et d'autres. Voir OMPL <https://ompl.kavrakilab.org/>

# Approches par échantillonnage

## Avantages / Inconvénients

- Avantages
  - » Préférables dans les environnements de haute dimension
  - » Représentation arbitraire des obstacles et du robot
- Inconvénients
  - » Résultats potentiellement non-déterministes
  - » Garanties plus faibles de complétude
    - *Resolution complete* avec des approches déterministes
    - *Probabilistically complete* avec des approches aléatoires

# Résumé des types d'approches

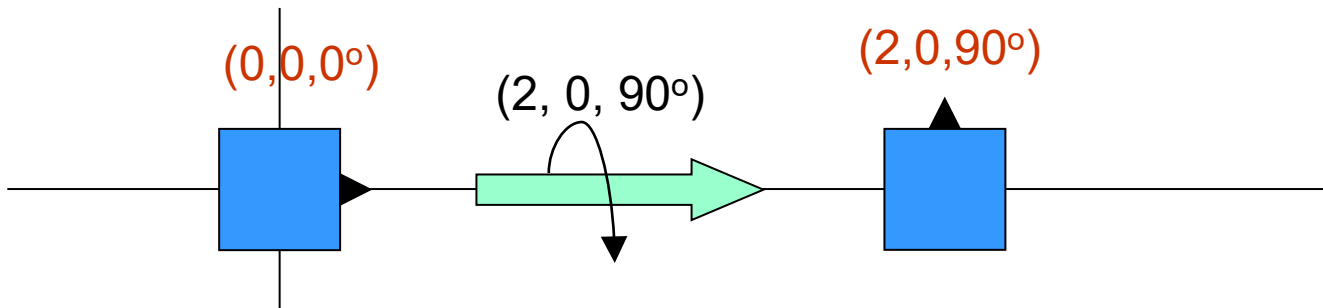
- Par décomposition
  - » Complètes
  - » Appropriées quand l'environnement et les obstacles sont connus d'avance
  - » Requièrent une représentation algébrique des obstacles
- Par échantillonnage
  - » Garanties plus faibles de complétude (résolution/probabiliste)
  - » Plus efficaces dans des espaces de grande dimension
  - » Détection de collisions comme une boîte noire (obstacles arbitraires)

# Sujets couverts

- Introduction
- Représentation et transformation des entités
- Espace de configuration
- Approches de planification
  - » Exactes
  - » Par échantillonnage
- Contraintes différentielles
- Outils suggérés

# Contraintes différentielles

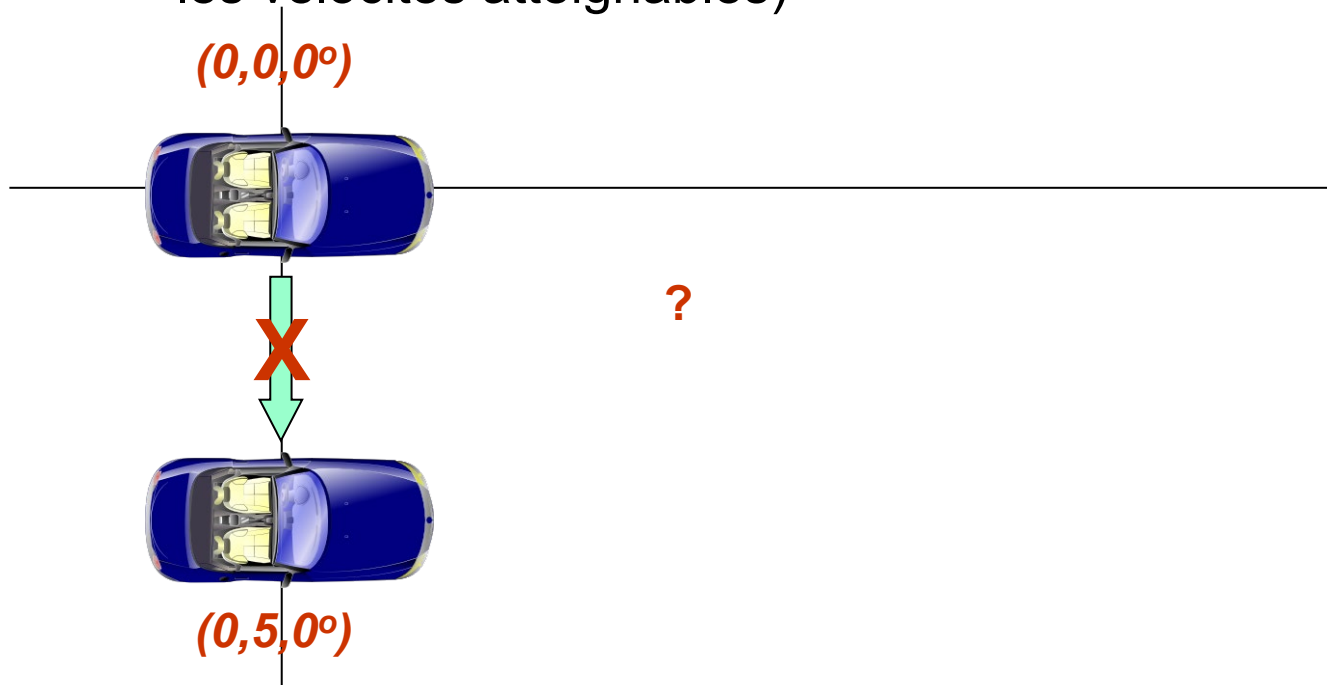
- Dans les exemples précédents (géométriques), on assumait:
  - » Qu'il était toujours possible de relier trivialement deux états arbitraires



- » Formellement, on assumait que l'espace des vitesses (dérivées) atteignables n'était pas contraint.
- En pratique, il arrive qu'on veuille modéliser un robot avec des contraintes différentielles.

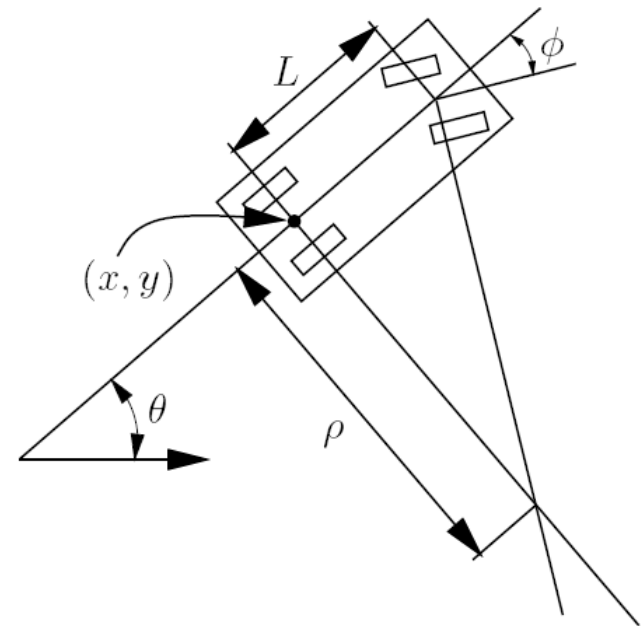
# Contraintes différentielles

- Cas typique: une voiture
  - » Impossible de se déplacer latéralement! (i.e. contraintes sur les vitesses atteignables)



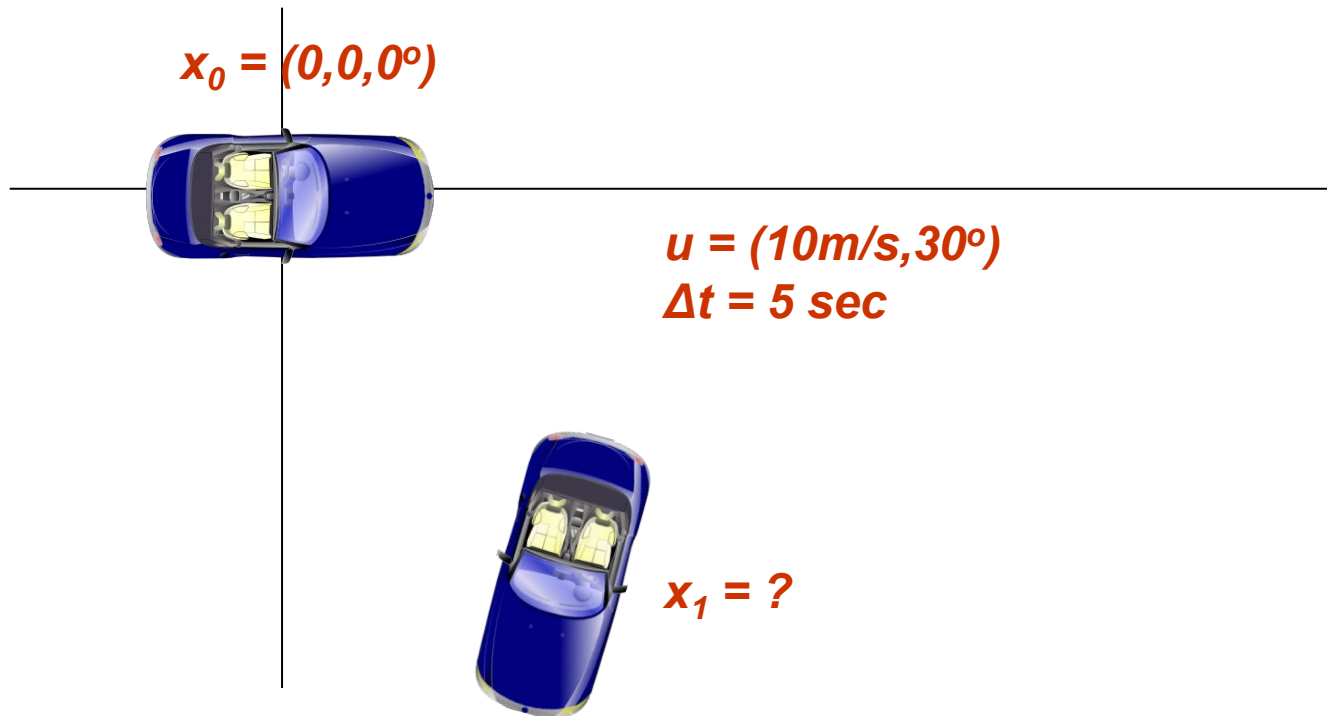
# Modèle dynamique d'une voiture

- Exemple: modèle dynamique d'une voiture
- Rendre les déplacements plus *smooth* : accélération et vitesse de rotation du volant
- *Espace de contrôle (Phase space)*: on augmente l'espace de configuration
  - » 3 degrés de liberté + vitesse  $s$  + rotation du volant  $\varphi$
  - »  $q = (x, y, \theta, s, \varphi)$
- Espace d'actions
  - » 2 degrés de liberté (accélération + vitesse de rotation du volant)
  - »  $u = (a, s_\varphi)$



# Fonction de transition

- Comment obtenir le nouvel état?



# Fonction de transition

- Comment obtenir le nouvel état?
  - » On intègre les vélocités dans le temps.

$$x(t) = x(0) + \int_0^t f(x(t'), u(t')) dt', \quad (14.1)$$

- » Intégration
  - Symbolique
  - Numérique (pour équations non-intégrables symboliquement), exemple Runge-Kutta

# Récapitulation

- Deux approches possibles pour traiter les contraintes différentielles
  - » Planifier puis transformer (RDT/RRT sans contraintes différentielles): explorant l'espace des configurations en ignorant les contraintes différentielles et traitant les contraintes différentielles en une phase de post-traitement de la trajectoire obtenue.
  - » Planifier avec des contraintes différentielles (RDT/RRT avec contraintes différentielles): Traiter les contraintes différentielles à la volée en même temps que la détection de collisions (étendre le planificateur local)

# Planification de trajectoires

- **Approche A** : Planifier puis transformer
  - 1) Calcul trajectoire sans tenir compte les contraintes différentielles
  - 2) Lissage de la trajectoire qui respecte les contraintes

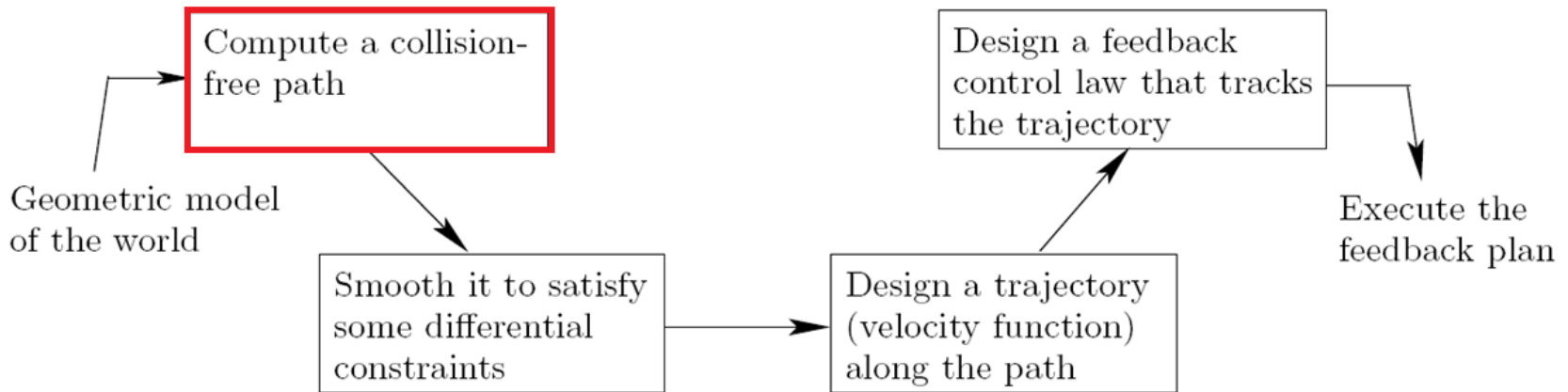
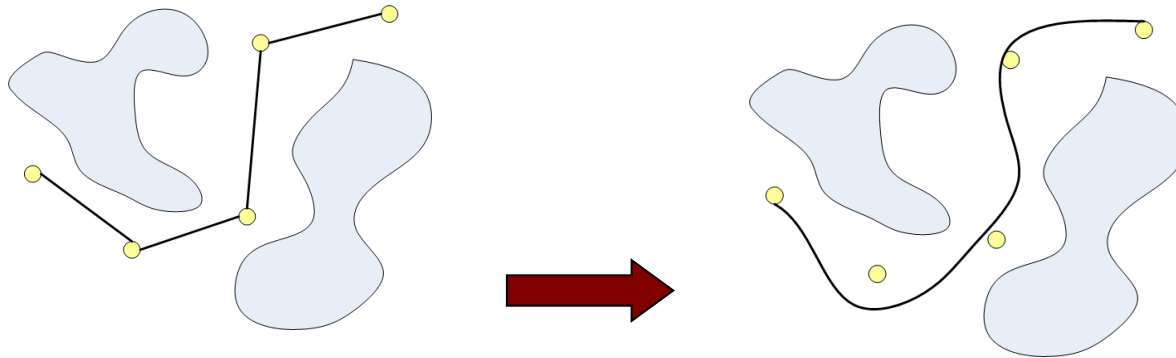
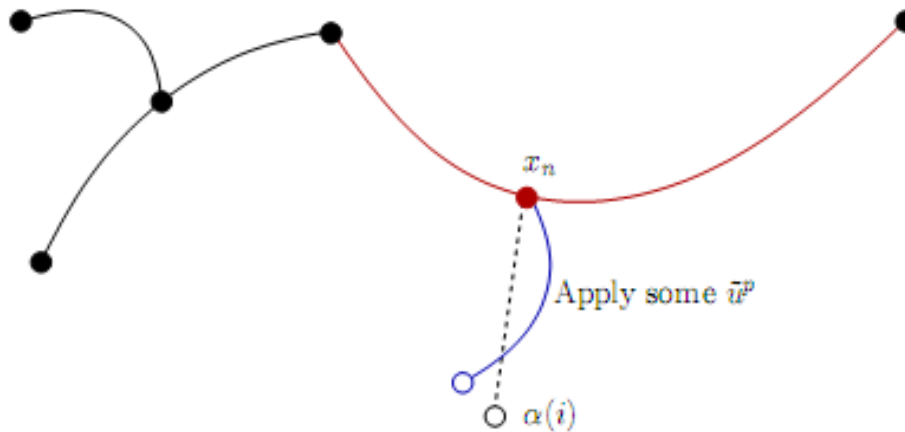


Figure 1.19: A refinement approach that has been used for decades in robotics.  
IFT608/IFT702

# Planification de trajectoires

- **Approche B** : Utiliser les RDT/RRT avec des contraintes différentielles
  - » Étendre l'arbre de façon aléatoire
    - Avec un certain biais vers le but (l'état final)
  - » Échantillonnage de l'espace de contrôle



# Planification de trajectoires

- Utiliser les RDTs

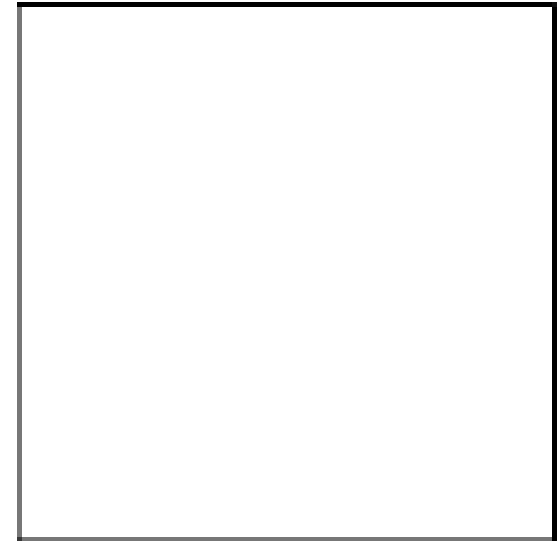
---

SIMPLE\_RDT\_WITH\_DIFFERENTIAL\_CONSTRAINTS( $x_0$ )

```
1  $\mathcal{G}$ .init( $x_0$ );
2 for  $i = 1$  to  $k$  do
3    $x_n \leftarrow$  NEAREST( $S(\mathcal{G}), \alpha(i)$ );
4    $(\tilde{u}^p, x_r) \leftarrow$  LOCAL_PLANNER( $x_n, \alpha(i)$ );
5    $\mathcal{G}$ .add_vertex( $x_r$ );
6    $\mathcal{G}$ .add_edge( $\tilde{u}^p$ );
```

---

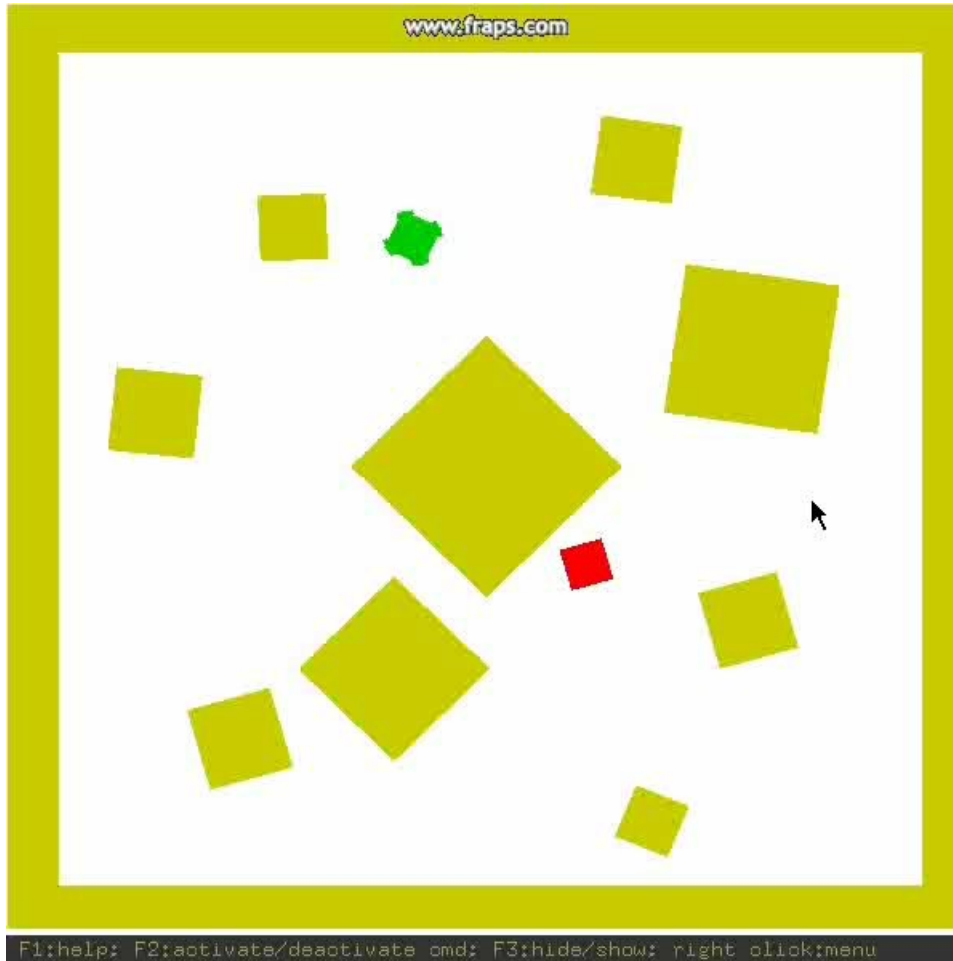
Figure 14.19: Extending the basic RDT algorithm to handle differential constraints. In comparison to Figure 5.16, an LPM computes  $x_r$ , which becomes the new vertex, instead of  $\alpha(i)$ . In some applications, line 4 may fail, in which case lines 5 and 6 are skipped.



- Différence principale avec la version géométrique: le *local planner* s'assure que la trajectoire générée respecte les contraintes différentielles

# Planification de trajectoires

- Exemple avec RDT



# Plan

- Introduction
- Représentation et transformation des entités
- Espace de configuration
- Approches de planification
  - » Exactes
  - » Par échantillonnage
- Contraintes différentielles
- Outils suggérés

# Outils

- ROS (Robotics Operating System)
  - Facilite la programmation bas-niveau du contrôle d'un robot
- OMPL (Open Motion Planning Library)
  - Planification de trajectoires
- MoveIT
  - Intégration de ROS, OMPL, un détecteur de collision, un simulateur (e.g., Gazebo), et d'autres composantes.

# Démo de planification avec MoveIT

The screenshot displays the MoveIt GUI interface. On the left, a 'Displays' panel lists various visualization options, including 'Global Status: Ok', 'Grid', 'MotionPlanning', and 'RobotState'. The main 3D view shows a robot model with a planned path indicated by purple lines on the floor. Below the 3D view is the 'Motion Planning' control panel, which includes tabs for 'Context', 'Planning', 'Manipulation', 'Scene Objects', 'Stored Scenes', 'Stored States', and 'Status'. The 'Planning' tab is active, showing 'Commands' (Plan, Execute, Plan and Execute) and 'Query' (Select Start State, Select Goal State) fields. The 'Options' section includes 'Planning Time (s): 5.00', 'Allow Replanning', 'Allow Sensor Positioning', 'Path Constraints: None', and 'Goal Tolerance: 0.00'. The 'Workspace' section shows 'Center (XYZ): 0.00, 0.00, 0.00' and 'Size (XYZ): 2.00, 2.00, 2.00'. A 'Reset' button is located at the bottom left, and '30 fps' is shown at the bottom right.

# Architecture d'intégration pour MoveIt

## ROS

Robot description  
(joints, links, controller, etc.)

e.g. PR2



**MoveIt Setup Assistant**



Create

**MoveIt ROS package**

Launch

**Gazebo**  
(simulator)



World state

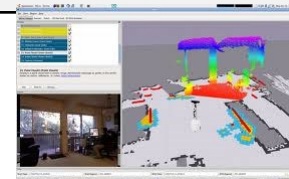
**MoveIt Planning Plugin**

OMPL

PQP

**Rviz**

(visualizator – robot's perspective)



# Ce qu'il faut retenir

- Planification de trajectoires
  - » Problème continu et discret
  - » Approches par décomposition exacte
    - Trapézoïdale
    - Graphe de visibilité
    - Grille
  - » Algorithme par échantillonnage : RRT
  - » Algorithme par échantillonnage avec des contraintes différentielles: RDT
- Non couvert...
  - » Environnement non-déterministe
  - » Obstacles dynamiques
  - » Contraintes temporelles
- Initiation au packages OMPL, ROS et MoveIt

